

УДК 517.977

А. П. Маштаков, Ю. Л. Сачков

## Экстремальные траектории и асимптотика времени Максвелла в задаче об оптимальном качении сферы по плоскости

Рассматривается задача о качении сферы по плоскости без прокручивания и проскальзывания. Требуется перекатить сферу из одной контактной конфигурации в другую так, чтобы длина кривой, пробегаемой точкой контакта, была наименьшей. Получена параметризация экстремальных траекторий. Исследуется асимптотика экстремальных траекторий и поведение времени Максвелла при качении сферы по синусоидам малой амплитуды; для таких траекторий получены оценки так называемого времени разреза.

Библиография: 21 название.

**Ключевые слова:** оптимальное управление, геометрические методы, симметрии экспоненциального отображения, качение поверхностей, эластичности Эйлера.

### § 1. Введение

Работа посвящена исследованию задачи об оптимальном качении сферы по плоскости без прокручивания и проскальзывания. Состояние системы описывается точкой контакта сферы с плоскостью и ориентацией сферы в трехмерном пространстве. Требуется перекатить сферу из заданного начального состояния в заданное терминальное состояние так, чтобы кривая, пробегаемая точкой контакта на плоскости, имела минимальную длину. Управление является скоростью центра сферы.

Описанная задача имеет большое значение для робототехники при моделировании движения сферы в руке робота-манипулятора. Задачи о качении поверхностей вызывают большой интерес в механике, робототехнике и теории управления (см., например, работы [1]–[4]).

Задача об оптимальном качении сферы по плоскости была поставлена в работе Дж. Хаммерсли [5]. А. Артурс и Дж. Уолш в [6] доказали, что уравнения для экстремальных траекторий в этой задаче интегрируемы в эллиптических функциях. В. Джарджевич в [7], [8] показал, что при оптимальном качении точка контакта сферы и плоскости движется по эластичкам Эйлера (стационарным конфигурациям упругого стержня на плоскости; см. [9], [10]), и описал возможные типы качения сферы. Однако явная параметризация экстремальных траекторий не была получена.

---

Работа выполнена при поддержке Российского фонда фундаментальных исследований (грант № 09-01-00246-а).

Остается открытым важный вопрос об оптимальности экстремальных траекторий. Малые дуги экстремальных траекторий оптимальны, но большие дуги, вообще говоря, не оптимальны. Точка, в которой экстремальная траектория теряет оптимальность, называется точкой разреза. В работе [11] начато исследование этих точек на экстремальных траекториях. Описаны непрерывные и дискретные симметрии задачи, охарактеризованы соответствующие точки Максвелла (точки пересечения экстремальных траекторий с одинаковыми значениями функционала и времени). Известно (см. [12]), что после точки Максвелла экстремальная траектория не может быть оптимальной. В работе [11] точки Максвелла, соответствующие непрерывным и дискретным симметриям задачи, были описаны алгебраическими уравнениями в пространстве состояний.

Настоящая работа является непосредственным продолжением работы [11]. Получены результаты в двух направлениях. Во-первых, дается явная параметризация экстремальных траекторий эллиптическими функциями и интегралами; для получения этой параметризации вводятся естественные эллиптические координаты в пространстве сопряженных переменных принципа максимума Понтрягина. Во-вторых, исследована асимптотика экстремальных траекторий при качении сферы вдоль эластик, близких к прямой (т.е. вдоль синусоид малой амплитуды); для этих траекторий изучено поведение точек Максвелла, получены явные оценки времени разреза.

Напомним постановку задачи оптимального управления и некоторые известные результаты. Пусть  $(x, y) \in \mathbb{R}^2$  – точка касания сферы и плоскости,  $R \in \text{SO}(3)$  – вращение трехмерного пространства, переводящее текущую ориентацию сферы в исходную. Задача об оптимальном качении сферы единичного радиуса по плоскости ставится следующим образом (см. [7], [8]):

$$\dot{x} = u_1, \quad \dot{y} = u_2, \quad (1.1)$$

$$\dot{R} = R(u_2 A_1 - u_1 A_2), \quad (1.2)$$

$$Q = (x, y, R) \in M = \mathbb{R}^2 \times \text{SO}(3), \quad u = (u_1, u_2) \in \mathbb{R}^2, \quad (1.3)$$

$$Q(0) = Q_0 = (0, 0, \text{Id}), \quad Q(t_1) = Q_1, \quad (1.4)$$

$$l = \int_0^{t_1} \sqrt{u_1^2 + u_2^2} dt \rightarrow \min. \quad (1.5)$$

Здесь и далее используются базисные матрицы в алгебре Ли  $\mathfrak{so}(3)$

$$A_1 = \begin{pmatrix} 0 & 0 & 0 \\ 0 & 0 & -1 \\ 0 & 1 & 0 \end{pmatrix}, \quad A_2 = \begin{pmatrix} 0 & 0 & 1 \\ 0 & 0 & 0 \\ -1 & 0 & 0 \end{pmatrix}, \quad A_3 = \begin{pmatrix} 0 & -1 & 0 \\ 1 & 0 & 0 \\ 0 & 0 & 0 \end{pmatrix}. \quad (1.6)$$

Допустимые управления предполагаются измеримыми и существенно ограниченными, а допустимые траектории – липшицевыми.

Задача (1.1)–(1.5) есть левоинвариантная субриманова задача на группе Ли  $M = \mathbb{R}^2 \times \text{SO}(3)$ . Введем следующий репер на этой группе Ли:  $e_1 = \frac{\partial}{\partial x}$ ,  $e_2 = \frac{\partial}{\partial y}$ ,  $V_i(R) = R A_i$ ,  $i = 1, 2, 3$ . В терминах левоинвариантных полей  $X_1 = e_1 - V_2$ ,  $X_2 = e_2 + V_1$  управляемая система (1.1)–(1.3) принимает вид

$$\dot{Q} = u_1 X_1(Q) + u_2 X_2(Q), \quad Q \in M = \mathbb{R}^2 \times \text{SO}(3), \quad (u_1, u_2) \in \mathbb{R}^2. \quad (1.7)$$

Функционал (1.5) есть функционал субримановой длины для левоинвариантной субримановой структуры, заданной полями  $X_1, X_2$  как ортонормированным базисом:

$$l = \int_0^{t_1} \langle \dot{Q}, \dot{Q} \rangle^{1/2} dt \rightarrow \min, \quad \langle X_i, X_j \rangle = \delta_{ij}, \quad i, j = 1, 2. \quad (1.8)$$

По теореме Рашевского–Чжоу (см. [4]) система (1.7) вполне управляема, т.е. любые две точки пространства состояний  $M$  можно соединить траекторией системы. Из теоремы Филиппова (см. [4]) следует существование оптимальных управлений в задаче (1.1)–(1.5). Для исследования оптимальных управлений применяется принцип максимума Понтрягина (см. [13], [4]). В аномальном случае сфера катится по прямой на плоскости  $(x, y)$ . Для нормального случая в работе В. Джарджевича [7] гамильтонова система принципа максимума Понтрягина (для траекторий единичной скорости  $\langle \dot{Q}, \dot{Q} \rangle \equiv 1$ ) получена в следующей форме:

$$\dot{\theta} = c, \quad \dot{c} = -r \sin \theta, \quad \dot{\alpha} = \dot{r} = 0, \quad (1.9)$$

$$\dot{x} = \cos(\theta + \alpha), \quad \dot{y} = \sin(\theta + \alpha), \quad (1.10)$$

$$\dot{R} = R\Omega, \quad \Omega = \sin(\theta + \alpha)A_1 - \cos(\theta + \alpha)A_2, \quad (1.11)$$

$$\theta \in S^1, \quad c \in \mathbb{R}, \quad r \geq 0, \quad \alpha \in S^1, \quad Q = (x, y, R) \in M, \quad (1.12)$$

$$Q(0) = Q_0 = (0, 0, \text{Id}). \quad (1.13)$$

Уравнения (1.9)–(1.11) дают координатное представление гамильтоновой системы на поверхности уровня  $\{H = 1/2\}$  в кокасательном расслоении для гамильтониана  $H = ((h_1 - H_2)^2 + (h_2 + H_1)^2)/2$ , где  $h_i(\lambda) = \langle \lambda, e_i \rangle$ ,  $H_i(\lambda) = \langle \lambda, V_i \rangle$ ,  $\lambda \in T^*M$  (подробности см. в [7], [11]). Подсистема (1.9) гамильтоновой системы для сопряженных переменных  $(\theta, c, r, \alpha)$  есть уравнение маятника, а проекции экстремальных кривых на плоскость  $(x, y)$  суть эйлеровы эластики – стационарные конфигурации упругого стержня на плоскости с закрепленными концами и касательными на концах (см. [10]). В. Джарджевич в [7] описал разные качественные типы качения сферы по эластикам различных видов (инфлекссионных, неинфлекссионных, окружности, прямой), а также получил алгебраические и дифференциальные уравнения для углов Эйлера вдоль экстремальных кривых (мы приведем эти уравнения и воспользуемся некоторыми из них в § 3).

В работе [11] описаны непрерывные и дискретные симметрии экспоненциального отображения, параметризующего решения гамильтоновой системы:

$$\text{Exp} : (\lambda, t) \mapsto Q_t, \quad (\lambda, t) \in N = C \times \mathbb{R}_+, \quad Q_t \in M,$$

$$C = \left\{ \lambda \in T_{Q_0}^*M \mid H(\lambda) = \frac{1}{2} \right\} = \{(\theta, c, \alpha, r) \mid \theta \in S^1, c \in \mathbb{R}, r \geq 0, \alpha \in S^1\}.$$

Непрерывные симметрии  $\{\Phi^\beta \mid \beta \in S^1\}$  суть повороты на угол  $\beta$  в плоскости  $(x, y)$ , а дискретные симметрии  $\varepsilon^1, \varepsilon^2, \varepsilon^3$  – отражения траекторий маятника (1.9) соответственно в осях координат  $\{\theta = 0\}, \{c = 0\}$  и в начале координат  $(\theta, c) = (0, 0)$ . Определено действие симметрий в прообразе  $N$  и образе  $M$  экспоненциального отображения. Получено описание множеств Максвелла, соответствующих симметриям  $\varepsilon^i, i = 1, 2, 3$ :

$$\text{MAX}^i = \{(\lambda, t) \in N \mid \exists \beta \in S^1 :$$

$$(\tilde{\lambda}, t) = \varepsilon^i \circ \Phi^\beta(\lambda, t), \text{Exp}(\lambda, s) \not\equiv \text{Exp}(\tilde{\lambda}, s), \text{Exp}(\lambda, t) = \text{Exp}(\tilde{\lambda}, t)\}.$$

В частности, для симметрии  $\varepsilon^1$  доказано следующее утверждение.

ТЕОРЕМА 1.1 (см. [11; теорема 4.1]). Пусть  $t > 0$  и  $Q_s = (x_s, y_s, R_s) = \text{Exp}(\lambda, s)$  есть такая экстремальная траектория, что:

- (i)  $q_3(t) = 0$ ;
- (ii) эллипсоид  $\{(x_s, y_s) \mid s \in [0, t]\}$  не вырожден и не центрирован в точке перегиба.

Тогда  $(\lambda, t) \in \text{MAX}^1$ , поэтому для любого  $t_1 > t$  траектория  $Q_s$ ,  $s \in [0, t_1]$ , не оптимальна.

Здесь  $q = q_0 + iq_1 + jq_2 + kq_3$  – кватернион единичной длины, соответствующий матрице  $R \in \text{SO}(3)$  (подробности см. в § 4, а также в [11]). В § 6 исследовано поведение точек Максвелла  $(\lambda, t) \in \text{MAX}^1$  вблизи устойчивого положения равновесия маятника (1.9). Для множеств Максвелла  $\text{MAX}^2$ ,  $\text{MAX}^3$  в работе [11] получены предложения, аналогичные теореме 1.1.

Настоящая работа имеет следующую структуру. В § 2 построено разбиение цилиндра  $C$  на подмножества, соответствующие однотипным движениям маятника (1.9). С использованием этого разбиения на подмножестве полной меры цилиндра  $C$  введены эллиптические координаты, выпрямляющие фазовый поток маятника. В § 3 эти координаты использованы для получения параметризации экстремальных траекторий.

В §§ 4–6 исследуется асимптотика экстремальных кривых и поведение множества Максвелла  $\text{MAX}^1$  вблизи устойчивого положения равновесия маятника. С учетом того, что это множество описано в терминах кватернионов, в § 4 выводится управляемая система, описывающая изменение кватерниона единичной длины  $q$ , соответствующего матрице вращения  $R$ . В § 5 вычислены асимптотические разложения траекторий этой системы вблизи устойчивого положения равновесия маятника. В § 6 исследуется поведение множества Максвелла  $\text{MAX}^1$  для соответствующих экстремальных траекторий; исследована асимптотика функции  $q_3(t)$ , задающей это множество; получены оценки времени разреза вдоль экстремальных траекторий, соответствующих малым колебаниям маятника (1.9).

## § 2. Эллиптические координаты в преобразе экспоненциального отображения

Уравнения маятника (1.9) имеют интеграл энергии  $E = c^2/2 - r \cos \theta \in [-r, +\infty)$ . Цилиндр  $C$  разбивается на следующие инвариантные подмножества этого уравнения:

$$C = \bigcup_{i=1}^7 C_i, \quad C_i \cap C_j = \emptyset, \quad i \neq j,$$

$$\begin{aligned} C_1 &= \{\lambda \in C \mid E \in (-r, r), r > 0\}, & C_2 &= \{\lambda \in C \mid E \in (r, +\infty), r > 0\}, \\ C_3 &= \{\lambda \in C \mid E = r > 0, c \neq 0\}, & C_4 &= \{\lambda \in C \mid E = -r, r > 0\}, \\ C_5 &= \{\lambda \in C \mid E = r > 0, c = 0\}, & C_6 &= \{\lambda \in C \mid r = 0, c \neq 0\}, \\ C_7 &= \{\lambda \in C \mid r = 0, c = 0\}. \end{aligned}$$

При  $\lambda \in \bigcup_{i=4}^7 C_i$  уравнения маятника (1.9) легко интегрируются. Однако при  $\lambda \in \bigcup_{i=1}^3 C_i$  для интегрирования этих уравнений и полной гамильтоновой

системы (1.9)–(1.11) нам понадобятся специальные эллиптические координаты. Аналогичные координаты были применены к исследованию нескольких задач оптимального управления, для которых сопряженная система принципа максимума Понтрягина сводится к уравнению маятника (см. [12], [14], [15]).

В области  $\widehat{C} = \bigcup_{i=1}^3 C_i$  эллиптические координаты  $(\varphi, k, \alpha, r)$  вводятся следующим образом (здесь и далее используются функции Якоби  $\operatorname{sn}$ ,  $\operatorname{cn}$ ,  $\operatorname{dn}$ ,  $E$  и полный эллиптический интеграл I рода  $K$ ; см. [16], [17]).

Если  $\lambda = (\theta, c, \alpha, r) \in C_1$ , то

$$\sin\left(\frac{\theta}{2}\right) = k \operatorname{sn}(\sqrt{r}\varphi, k), \quad \cos\left(\frac{\theta}{2}\right) = \operatorname{dn}(\sqrt{r}\varphi, k), \quad \frac{c}{2} = k\sqrt{r} \operatorname{cn}(\sqrt{r}\varphi, k),$$

при этом  $k = \sqrt{(E+r)/(2r)} \in (0, 1)$ ,  $\sqrt{r}\varphi \pmod{4K} \in [0, 4K]$ .

Если  $\lambda = (\theta, c, \alpha, r) \in C_2$ , то

$$\begin{aligned} \sin\left(\frac{\theta}{2}\right) &= \pm \operatorname{sn}\left(\frac{\sqrt{r}\varphi}{k}, k\right), & \cos\left(\frac{\theta}{2}\right) &= \operatorname{cn}\left(\frac{\sqrt{r}\varphi}{k}, k\right), \\ \frac{c}{2} &= \frac{\pm\sqrt{r}}{k} \operatorname{dn}\left(\frac{\sqrt{r}\varphi}{k}, k\right), \end{aligned}$$

где  $\pm = \operatorname{sgn} c$ , при этом  $k = \sqrt{2r/(E+r)} \in (0, 1)$ ,  $\sqrt{r}\varphi \pmod{2kK} \in [0, 2kK]$ .

Если  $\lambda \in C_3$ , то

$$\sin\left(\frac{\theta}{2}\right) = \pm \operatorname{th}(\sqrt{r}\varphi), \quad \cos\left(\frac{\theta}{2}\right) = \frac{1}{\operatorname{ch}(\sqrt{r}\varphi)}, \quad \frac{c}{2} = \frac{\pm\sqrt{r}}{\operatorname{ch}(\sqrt{r}\varphi)},$$

где  $\pm = \operatorname{sgn} c$ , при этом  $k = 1$ ,  $\varphi \in (-\infty, +\infty)$ .

Координата  $k$  есть перепараметризованная энергия маятника. Непосредственное дифференцирование показывает, что уравнения маятника (1.9) выпрямляются в координатах  $(\varphi, k, \alpha, r)$ :

$$\dot{\varphi} = 1, \quad \dot{k} = 0, \quad \dot{\alpha} = 0, \quad \dot{r} = 0, \tag{2.1}$$

т.е. координата  $\varphi$  – время движения маятника.

### § 3. Параметризация экстремалей

#### 3.1. Интегрирование подсистемы для сопряженных переменных.

Если  $\lambda = (\varphi, k, \alpha, r) \in \widehat{C}$ , то в силу уравнений (2.1) траектории маятника (1.9) в эллиптических координатах имеют вид  $\varphi_t = \varphi + t$ ,  $k, \alpha, r = \operatorname{const}$ . Учитывая выражения для эллиптических координат в области  $\widehat{C}$  (см. § 2), получаем следующую параметризацию решений  $(\theta_t, c_t)$  системы (1.9).

Если  $\lambda \in C_1$ , то

$$\sin\left(\frac{\theta_t}{2}\right) = k \operatorname{sn}(\sqrt{r}\varphi_t, k), \quad \cos\left(\frac{\theta_t}{2}\right) = \operatorname{dn}(\sqrt{r}\varphi_t, k), \quad \frac{c_t}{2} = k\sqrt{r} \operatorname{cn}(\sqrt{r}\varphi_t, k).$$

Если  $\lambda \in C_2$ , то

$$\begin{aligned} \sin\left(\frac{\theta_t}{2}\right) &= \pm \operatorname{sn}\left(\frac{\sqrt{r}\varphi_t}{k}, k\right), & \cos\left(\frac{\theta_t}{2}\right) &= \operatorname{cn}\left(\frac{\sqrt{r}\varphi_t}{k}, k\right), \\ \frac{c_t}{2} &= \frac{\pm\sqrt{r}}{k} \operatorname{dn}\left(\frac{\sqrt{r}\varphi_t}{k}, k\right), & \pm &= \operatorname{sgn} c. \end{aligned}$$

Если  $\lambda \in C_3$ , то

$$\sin\left(\frac{\theta_t}{2}\right) = \pm \operatorname{th}(\sqrt{r}\varphi_t), \quad \cos\left(\frac{\theta_t}{2}\right) = \frac{1}{\operatorname{ch}(\sqrt{r}\varphi_t)},$$

$$\frac{c_t}{2} = \frac{\pm\sqrt{r}}{\operatorname{ch}(\sqrt{r}\varphi_t)}, \quad \pm = \operatorname{sgn} c.$$

Для случаев  $\lambda \in \bigcup_{i=4}^7 C_i$  система (1.9) интегрируется непосредственно:

$$\begin{aligned} \theta_t &\equiv 0, \quad c_t \equiv 0 && \text{при } \lambda \in C_4; \\ \theta_t &\equiv \pi, \quad c_t \equiv 0 && \text{при } \lambda \in C_5; \\ \theta_t &= ct + \theta, \quad c_t \equiv c \neq 0 && \text{при } \lambda \in C_6; \\ \theta_t &\equiv \theta, \quad c_t \equiv 0 && \text{при } \lambda \in C_7. \end{aligned}$$

**3.2. Интегрирование уравнений для  $x$ ,  $y$ .** Для интегрирования уравнений (1.10) с начальными условиями  $x_0 = y_0 = 0$  воспользуемся симметрией задачи – поворотом

$$\bar{x} = x \cos \alpha + y \sin \alpha, \quad \bar{y} = -x \sin \alpha + y \cos \alpha. \quad (3.1)$$

В новых переменных получаем задачу Коши

$$\dot{\bar{x}}_t = \cos \theta_t, \quad \dot{\bar{y}}_t = \sin \theta_t, \quad \bar{x}_0 = \bar{y}_0 = 0. \quad (3.2)$$

Используя полученные в п. 3.1 выражения для  $\sin(\theta_t/2)$ ,  $\cos(\theta_t/2)$ , интегрируем уравнения (3.2) при  $\lambda \in \widehat{C}$  и получаем следующую параметризацию эйлеровых эластик ( $\bar{x}_t, \bar{y}_t$ ).

Если  $\lambda \in C_1$ , то

$$\bar{x}_t = \frac{2(\operatorname{E}(\sqrt{r}\varphi_t) - \operatorname{E}(\sqrt{r}\varphi)) - \sqrt{r}t}{\sqrt{r}}, \quad \bar{y}_t = \frac{2k(\operatorname{cn}(\sqrt{r}\varphi) - \operatorname{cn}(\sqrt{r}\varphi_t))}{\sqrt{r}}.$$

Если  $\lambda \in C_2$ , то

$$\begin{aligned} \bar{x}_t &= \frac{2(\operatorname{E}(\sqrt{r}\varphi_t/k) - \operatorname{E}(\sqrt{r}\varphi/k) - (2 - k^2)\sqrt{r}t/(2k))}{k\sqrt{r}}, \\ \bar{y}_t &= \frac{\pm 2(\operatorname{dn}(\sqrt{r}\varphi/k) - \operatorname{dn}(\sqrt{r}\varphi_t/k))}{k\sqrt{r}}, \quad \pm = \operatorname{sgn} c. \end{aligned}$$

Если  $\lambda \in C_3$ , то

$$\begin{aligned} \bar{x}_t &= \frac{2(\operatorname{th}(\sqrt{r}\varphi_t) - \operatorname{th}(\sqrt{r}\varphi)) - \sqrt{r}t}{\sqrt{r}}, \\ \bar{y}_t &= \frac{\pm 2(1/\operatorname{ch}(\sqrt{r}\varphi) - 1/\operatorname{ch}(\sqrt{r}\varphi_t))}{\sqrt{r}}, \quad \pm = \operatorname{sgn} c. \end{aligned}$$

При  $\lambda \in \bigcup_{i=4}^7 C_i$  уравнения (3.2) интегрируются непосредственно:

$$\begin{aligned} \bar{x}_t &= t, \quad \bar{y}_t = 0 && \text{при } \lambda \in C_4; \\ \bar{x}_t &= -t, \quad \bar{y}_t = 0 && \text{при } \lambda \in C_5; \\ \bar{x}_t &= \frac{\sin(ct + \theta) - \sin \theta}{c}, \quad \bar{y}_t = \frac{\cos \theta - \cos(ct + \theta)}{c} && \text{при } \lambda \in C_6; \\ \bar{x}_t &= t \cos \theta, \quad \bar{y}_t = t \sin \theta && \text{при } \lambda \in C_7. \end{aligned}$$

В терминах эллиптических координат естественно формулируются условия того, что эластика  $\{(x_s, y_s) \mid s \in [0, t]\}$  центрирована в точке перегиба (в вершине), т.е. условия того, что средняя точка элаستيки  $(x_{t/2}, y_{t/2})$  есть точка перегиба (соответственно вершина). Определим переменную  $\tau$  следующим образом:

$$\begin{aligned} \tau &= \sqrt{r} \left( \varphi + \frac{t}{2} \right) \quad \text{при } \lambda \in C_1 \cup C_3, \\ \tau &= \frac{\sqrt{r}(\varphi + \frac{t}{2})}{k} \quad \text{при } \lambda \in C_2. \end{aligned}$$

**ЛЕММА 3.1.** Пусть  $\lambda \in \widehat{C}$ ,  $\text{Exp}(\lambda, s) = (x_s, y_s, R_s)$ ,  $t > 0$ , и пусть  $\gamma = \{(x_s, y_s) \mid s \in [0, t]\}$ .

- (i) Эластика  $\gamma$  центрирована в точке перегиба тогда и только тогда, когда  $\lambda \in C_1$  и  $\text{sn } \tau = 0$ .
- (ii) Эластика  $\gamma$  центрирована в вершине в том и только том случае, когда:  $\text{sn } \tau = 0$  при  $\lambda \in C_1$ ;  $\text{sn } \tau \text{ cn } \tau = 0$  при  $\lambda \in C_2$ ;  $\tau = 0$  при  $\lambda \in C_3$ .

**ДОКАЗАТЕЛЬСТВО.** Кривизна элаستيки  $\gamma$  в точке  $(x_s, y_s)$  равна  $\dot{\theta}_s = c_s$ . При  $\lambda \in \widehat{C}$  эластика  $\gamma$  не вырождена (не является прямолинейным отрезком или дугой окружности), поэтому точки перегиба  $\gamma$  задаются условием  $c_s = 0$ , а вершины – условием  $\dot{c}_s = -r \sin \theta_s = 0$ .

(i) Средняя точка элаستيки  $(x_{t/2}, y_{t/2})$  есть точка перегиба тогда и только тогда, когда  $c_{t/2} = 0$ . Воспользуемся выражениями для компоненты экстремалей  $c_s$  в эллиптических координатах (п. 3.1). Если  $\lambda \in C_1$ , то равенство  $c_{t/2} = 0$  эквивалентно  $\text{sn } \tau = 0$ ; если  $\lambda \in C_2$ , то  $c_{t/2} \neq 0$ , так как  $\text{dn } \tau \neq 0$ ; если  $\lambda \in C_3$ , то  $c_{t/2} \neq 0$ , так как  $1/\text{ch } \tau \neq 0$ .

Пункт (ii) доказывается аналогично.

**3.3. Интегрирование уравнения для  $R$ .** Для интегрирования уравнения (1.11) воспользуемся следующими результатами работы В. Джарджевича [7]. Вдоль экстремальных траекторий матрица  $R$  и вектор

$$\tilde{P} = (H_1, H_2, H_3)^T = (\sin(\theta + \alpha) - r \sin \alpha, r \cos \alpha - \cos(\theta + \alpha), c)^T$$

удовлетворяют тождеству  $R\tilde{P} \equiv \text{const} \in \mathbb{R}^3$ ,  $|R\tilde{P}|^2 = 1 + r^2 + 2E =: M$ . Пусть  $M > 0$ . Если  $R\tilde{P} = (0, 0, \sqrt{M})^T$ , то матрица вращения имеет разложение  $R(t) = e^{\varphi_1(t)A_3} e^{\varphi_2(t)A_2} e^{(\varphi_3(t)-\alpha)A_3}$ , где углы Эйлера  $\varphi_1, \varphi_2, \varphi_3$  удовлетворяют уравнениям

$$\cos \varphi_2 = \frac{c}{\sqrt{M}}, \quad \sin \varphi_2 = \frac{\pm \sqrt{M - c^2}}{\sqrt{M}}, \tag{3.3}$$

$$\cos \varphi_3 = \frac{\mp \sin \theta}{\sqrt{M - c^2}}, \quad \sin \varphi_3 = \frac{\pm(r - \cos \theta)}{\sqrt{M - c^2}}, \tag{3.4}$$

$$\dot{\varphi}_1 = \frac{\sqrt{M}(1 - r \cos \theta)}{M - c^2}. \tag{3.5}$$

Уравнения (3.3)–(3.5) корректно определены, если  $M - c^2 > 0$ . В силу равенства  $M - c^2 = (1 - r)^2 + 4r \sin^2(\theta/2)$  при  $r \neq 1$  имеем  $M - c^2 > 0$ . Если  $r = 1$ ,

то уравнения (3.3)–(3.5) по непрерывности переходят в следующие уравнения:

$$\cos \varphi_2 = \frac{c}{\sqrt{M}}, \quad \sin \varphi_2 = \frac{\pm 2 \sin \frac{\theta}{2}}{\sqrt{M}}, \quad (3.6)$$

$$\cos \varphi_3 = \mp \cos \left( \frac{\theta}{2} \right), \quad \sin \varphi_3 = \pm \sin \left( \frac{\theta}{2} \right), \quad (3.7)$$

$$\dot{\varphi}_1 = \frac{\sqrt{M}}{2}. \quad (3.8)$$

Если  $R\tilde{P}$  – произвольный вектор в  $\mathbb{R}^3$  длины  $\sqrt{M}$ , то подходящим вращением он может быть переведен в вектор  $(0, 0, \sqrt{M})^T$ . Воспользовавшись инвариантностью задачи относительно левых сдвигов на  $\text{SO}(3)$ , получаем следующее выражение для матрицы вращения:

$$R(t) = e^{(\alpha - \varphi_3^0)A_3} e^{-\varphi_2^0 A_2} e^{\varphi_1(t)A_3} e^{\varphi_2(t)A_2} e^{(\varphi_3(t) - \alpha)A_3}, \quad (3.9)$$

где углы  $\varphi_i$  определяются из соотношений (3.3)–(3.5) при  $r \neq 1$  и (3.6)–(3.8) при  $r = 1$ , а угол  $\varphi_1$  удовлетворяет начальному условию  $\varphi_1^0 = 0$ .

Входящие в разложение (3.9) экспоненты матриц, содержащие  $\varphi_2, \varphi_3$ , выражаются через функции  $\cos \varphi_2, \sin \varphi_2, \cos \varphi_3, \sin \varphi_3$ , которые с помощью соотношений (3.3), (3.4), (3.6), (3.7) выражены через переменные  $c, \cos(\theta/2), \sin(\theta/2)$ , которые в свою очередь представлены в п. 3.1 как функции эллиптических координат или непосредственно. При  $r = 1$  имеем  $\varphi_1(t) = \sqrt{M}t/2$ . Интегрирование уравнения (3.5) при  $r \neq 1$  вынесено в п. 3.4.

В случае  $M = 0$  имеем  $r = 1, c = 0, \theta = 0$ , откуда  $u_1 = \cos \alpha, u_2 = \sin \alpha$ . Поэтому  $\Omega = u_2 A_1 - u_1 A_2 \equiv \text{const}$  и  $R(t) = e^{t\Omega}$ .

**3.4. Интегрирование уравнения для  $\varphi_1$ .** Для интегрирования уравнения (3.5) с начальным условием  $\varphi_1(0) = 0$  преобразуем правую часть этого уравнения:

$$\sqrt{M} \frac{1 - r \cos \theta}{M - c^2} = \sqrt{M} \left( \frac{1}{2} + \frac{1 - r^2}{2(M - c^2)} \right).$$

1) Пусть  $\lambda \in C_1$ ; тогда из п. 3.1 получаем  $c_s = 2k\sqrt{r} \text{sn}(\sqrt{r}(\varphi + s))$ , а из п. 2 получаем  $E = 2k^2 r - r$ , откуда  $M = (1 - r)^2 + 4k^2 r$ . Преобразуем интеграл:

$$\begin{aligned} \int_0^t \frac{ds}{M - c_s^2} &= \int_0^t \frac{ds}{(1 - r)^2 + 4k^2 r \text{sn}^2(\sqrt{r}(\varphi + s))} \\ &= \frac{1}{\sqrt{r}(1 - r)^2} \int_{\sqrt{r}\varphi}^{\sqrt{r}(\varphi+t)} \frac{dp}{1 - l \text{sn}^2 p}, \quad l = -\frac{4k^2 r}{(1 - r)^2}. \end{aligned}$$

Введем в рассмотрение эллиптический интеграл III рода в следующей форме:

$$\Pi(n, u, k) = \int_0^u \frac{dt}{(1 - n \sin^2 t) \sqrt{1 - k^2 \sin^2 t}} = \int_0^{F(u, k)} \frac{dv}{1 - n \text{sn}^2 v}.$$

Тогда

$$\int_0^t \frac{ds}{M - c_s^2} = \frac{1}{\sqrt{r}(1 - r)^2} (\Pi(l, \text{am}(\sqrt{r}(\varphi + t)), k) - \Pi(l, \text{am}(\sqrt{r}\varphi), k)),$$



откуда

$$\varphi_1(t) = \frac{\sqrt{M}}{2}t + \frac{\sqrt{M}(1+r)}{2\sqrt{r}(1-r)} \left( \Pi(l, \operatorname{am}(\sqrt{r}(\varphi+t)), k) - \Pi(l, \operatorname{am}(\sqrt{r}\varphi), k) \right),$$

где  $l = -4k^2r/(1-r)^2$ . Здесь и далее используются эллиптический интеграл первого рода  $F$  и амплитуда Якоби  $\operatorname{am}$  (см. [16]).

2) Пусть  $\lambda \in C_2$ ; тогда  $c_s = \pm 2\sqrt{r}/k \operatorname{dn}(\sqrt{r}(\varphi+t)/k)$ ,  $M = (1-r)^2 + 4r/k^2$ , и аналогичное вычисление дает

$$\varphi_1(t) = \frac{\sqrt{M}}{2}t + \frac{\sqrt{M}k(1+r)}{2\sqrt{r}(1-r)} \left( \Pi\left(l, \operatorname{am}\left(\frac{\sqrt{r}(\varphi+t)}{k}\right), k\right) - \Pi\left(l, \operatorname{am}\left(\frac{\sqrt{r}\varphi}{k}\right), k\right) \right),$$

где  $l = -4r/(1-r)^2$ .

3) Пусть  $\lambda \in C_3$ ; тогда  $c_s = \pm 2\sqrt{r}/\operatorname{ch}(\sqrt{r}(\varphi+s))$ ,  $M = (1+r)^2$ , и угол  $\varphi_1$  выражается через элементарные функции:

$$\varphi_1(t) = \frac{\sqrt{M}}{2}t + \frac{\sqrt{M}k(1-r^2)}{8r^{3/2}} \left( I(\sqrt{r}(\varphi+t), a) - I(\sqrt{r}\varphi, a) \right),$$

$$I(v, a) = \int_0^v \frac{dt}{a^2 + \operatorname{th}^2 t} = \frac{at - \operatorname{arctg} a + \operatorname{arctg}(e^t(a^2 \operatorname{ch} t + \operatorname{sh} t)/a)}{a + a^3},$$

где  $a = (1-r)/(2\sqrt{r})$ .

4) Пусть  $\lambda \in C_6$ ; тогда  $r = 0$ ,  $c \equiv \operatorname{const} \neq 0$ ,  $M = 1 + c^2$ , откуда  $\dot{\varphi}_1 = \sqrt{M} = \sqrt{1+c^2}$ ,  $\varphi_1(t) = \sqrt{1+c^2}t$ .

5) В случае  $\lambda \in C_4 \cup C_5 \cup C_7$  выражение для матрицы вращения вычисляется непосредственно:

$$\theta_t \equiv \operatorname{const} = \theta, \quad \Omega = \sin(\alpha + \theta)A_1 - \cos(\alpha + \theta)A_2 \equiv \operatorname{const}, \quad R(t) = e^{t\Omega}.$$

Итак, для задачи об оптимальном качении сферы по плоскости получена параметризация нормальных экстремалей, т.е. траекторий гамильтоновой системы (1.9)–(1.13). В п. 3.1 проинтегрированы уравнения для сопряженных переменных  $\theta, c$ ; в п. 3.2 – уравнения для точки контакта сферы и плоскости  $(x, y) \in \mathbb{R}^2$ ; наконец, в пп. 3.3, 3.4 проинтегрировано уравнение для матрицы вращения сферы  $R \in \operatorname{SO}(3)$ . В отличие от других родственных задач оптимального управления, в которых подсистема для сопряженных переменных принципа максимума сводится к уравнению маятника: субриманова задача в случае Мартине (см. [18]), нильпотентная субриманова задача с вектором роста (2, 3, 5) (см. [17]), задача Эйлера об эластиках (см. [14]), субриманова задача на группе движений плоскости (см. [15]), где экстремали параметризуются функциями Якоби  $\operatorname{sn}, \operatorname{sn}, \operatorname{dn}, E$ , в задаче о качении сферы по плоскости дополнительно возникает эллиптический интеграл III рода  $\Pi$ . Это представляет существенное новое затруднение при анализе задачи о качении сферы по плоскости и указывает на ее более сложную природу по сравнению с другими упомянутыми задачами. Другие признаки этого рода будут отмечены в § 6 после исследования предельного поведения множества Максвелла и времени разреза.

#### § 4. Управляемая система в терминах кватернионов

Для описания изменения ориентации катящейся сферы удобно наряду с матрицей вращения  $R$  использовать кватернионы. В работе [11] кватернионы использованы для получения уравнений множеств Максвелла. В этом параграфе

выводятся уравнения управляемой системы, описывающей качение сферы по плоскости, в терминах кватернионов.

Пусть  $\mathbb{H} = \{q = q_0 + iq_1 + jq_2 + kq_3 \mid q_0, \dots, q_3 \in \mathbb{R}\}$  – алгебра кватернионов,  $S^3 = \{q \in \mathbb{H} \mid |q|^2 = q_0^2 + q_1^2 + q_2^2 + q_3^2 = 1\}$  – единичная сфера,  $I = \{q \in \mathbb{H} \mid \operatorname{Re} q = q_0 = 0\}$  – подпространство чисто мнимых кватернионов. Любой кватернион  $q \in S^3$  задает вращение евклидова пространства  $I$  (см. [19], [20]):

$$q \in S^3 \implies R_q(a) = qaq^{-1}, \quad a \in I, \quad R_q \in \operatorname{SO}(3) \cong \operatorname{SO}(I).$$

Отображение  $p: q \mapsto R_q$  есть двулистное накрытие  $S^3$  над  $\operatorname{SO}(3)$ :  $R_q = R_{\hat{q}}$  тогда и только тогда, когда  $q = \pm \hat{q}$ . В силу того, что проекция  $p: S^3 \rightarrow \operatorname{SO}(3)$  есть локальный диффеоморфизм, любое векторное поле  $V$  на  $\operatorname{SO}(3)$  имеет единственный лифт на  $S^3$ , т.е. такое векторное поле  $W$  на  $S^3$ , что  $p_*W = V$ . Поэтому и управляемая система  $\dot{R} = R(u_2A_1 - u_1A_2)$  имеет единственный лифт на  $S^3$ . Для его вычисления воспользуемся выражением для матрицы  $R_q = p(q) \in \operatorname{SO}(3)$ ,  $q = q_0 + iq_1 + jq_2 + kq_3 \in S^3$ , приведенным в книге [21]:

$$R = \begin{pmatrix} q_0^2 + q_1^2 - q_2^2 - q_3^2 & 2q_1q_2 - 2q_0q_3 & 2q_0q_2 + 2q_1q_3 \\ 2q_1q_2 + 2q_0q_3 & q_0^2 - q_1^2 + q_2^2 - q_3^2 & -2q_0q_1 + 2q_2q_3 \\ -2q_0q_2 + 2q_1q_3 & 2q_0q_1 + 2q_2q_3 & q_0^2 - q_1^2 - q_2^2 + q_3^2 \end{pmatrix}. \quad (4.1)$$

Продифференцировав эту матрицу в силу системы  $\dot{R} = R(u_2A_1 - u_1A_2)$ , получаем систему уравнений относительно  $\dot{q}_0, \dot{q}_1, \dot{q}_2, \dot{q}_3$ . Решая эту систему, получаем управляемую систему на  $S^3$ :

$$\begin{cases} \dot{q}_0 = \frac{1}{2}(q_2u_1 - q_1u_2), \\ \dot{q}_1 = \frac{1}{2}(q_3u_1 + q_0u_2), \\ \dot{q}_2 = \frac{1}{2}(-q_0u_1 + q_3u_2), \\ \dot{q}_3 = \frac{1}{2}(-q_1u_1 - q_2u_2), \end{cases} \quad q = q_0 + iq_1 + jq_2 + kq_3 \in S^3, \quad (u_1, u_2) \in \mathbb{R}^2. \quad (4.2)$$

Матрице  $R(t)$ , удовлетворяющей системе  $\dot{R} = R(u_2A_1 - u_1A_2)$  и начальному условию  $R(0) = \operatorname{Id}$ , однозначно сопоставляется кватернион  $q(t)$ , удовлетворяющий системе (4.2) и начальному условию  $q(0) = 1$ . Итак, управляемая система на  $\mathbb{R}^2 \times \operatorname{SO}(3)$  (1.1), (1.2) имеет лифт на  $\mathbb{R}^2 \times S^3$  вида (1.1), (4.2) с начальными условиями  $(x, y)(0) = (0, 0)$ ,  $q(0) = 1$ .

## § 5. Асимптотика экстремальных траекторий

Большой интерес представляет исследование экстремальных траекторий в рассматриваемой задаче. Ввиду сложности параметрических уравнений этих траекторий провести это исследование в полном объеме весьма затруднительно. В этом и следующем параграфах мы начнем это исследование с асимптотического случая, соответствующего малым колебаниям маятника (1.9); в этой асимптотике элаستيку  $(x, y)$ , по которым катится сфера, представляются синусоидами малой амплитуды.

В этом параграфе выводится указанная асимптотика экстремальных траекторий. Для представления ориентации сферы в пространстве будет использоваться не матрица вращения  $R \in \operatorname{SO}(3)$ , а кватернион  $q \in S^3$ , так как используемые для определения оптимальности экстремальных траекторий множества

Максвелла описаны в работе [11] в терминах кватернионов. Поэтому используется введенная в § 4 управляемая система (4.2). Соответствующая нормальная гамильтонова система принципа максимума имеет вид

$$\dot{\theta} = c, \quad \dot{c} = -r \sin \theta, \quad \dot{\alpha} = \dot{r} = 0, \quad (5.1)$$

$$\dot{x} = u_1, \quad \dot{y} = u_2, \quad (5.2)$$

$$\dot{q}_0 = \frac{1}{2}(q_2 u_1 - q_1 u_2), \quad (5.3)$$

$$\dot{q}_1 = \frac{1}{2}(q_3 u_1 + q_0 u_2), \quad (5.4)$$

$$\dot{q}_2 = \frac{1}{2}(-q_0 u_1 + q_3 u_2), \quad (5.5)$$

$$\dot{q}_3 = \frac{1}{2}(-q_1 u_1 - q_2 u_2), \quad (5.6)$$

$$u_1 = \cos(\theta + \alpha), \quad u_2 = \sin(\theta + \alpha), \quad (5.7)$$

$$(x, y)(0) = (0, 0), \quad (q_0, q_1, q_2, q_3)(0) = (1, 0, 0, 0). \quad (5.8)$$

Пусть  $\lambda = (\theta, c, \alpha, r) \in C_1$ , поэтому  $r > 0$ . Будем считать, что

$$r \in [r_{\min}, r_{\max}], \quad r_{\max} > r_{\min} > 0, \quad (5.9)$$

и выведем асимптотику решений системы (5.1)–(5.8) при  $\theta_0^2 + c_0^2 \rightarrow 0$ .

Перейдем в системе (5.1)–(5.8) к новым переменным:

$$(t, \theta, c, \alpha, r, x, y, u_1, u_2, q_0, q_1, q_2, q_3) \rightarrow (s, \theta, d, \alpha, m, \bar{x}, \bar{y}, \bar{u}_1, \bar{u}_2, \bar{q}_0, \bar{q}_1, \bar{q}_2, \bar{q}_3),$$

$$s = mt, \quad d = \frac{c}{m}, \quad m = \sqrt{r},$$

$$\begin{pmatrix} u_1 \\ u_2 \end{pmatrix} = A(\alpha) \begin{pmatrix} \bar{u}_1 \\ \bar{u}_2 \end{pmatrix}, \quad \text{где } A(\alpha) = \begin{pmatrix} \cos \alpha & -\sin \alpha \\ \sin \alpha & \cos \alpha \end{pmatrix},$$

$$\begin{pmatrix} x \\ y \end{pmatrix} = A(\alpha) \begin{pmatrix} \bar{x} \\ \bar{y} \end{pmatrix}, \quad \begin{pmatrix} q_1 \\ q_2 \end{pmatrix} = A(\alpha) \begin{pmatrix} \bar{q}_1 \\ \bar{q}_2 \end{pmatrix}, \quad \begin{cases} q_0 = \bar{q}_0, \\ q_3 = \bar{q}_3. \end{cases}$$

Обозначим дифференцирование по новому времени  $\frac{d}{ds}$  через  $'$ . В новых переменных система (5.1)–(5.8) примет вид

$$\theta' = d, \quad d' = -\sin \theta, \quad \alpha' = m' = 0, \quad (5.10)$$

$$\bar{x}' = \frac{\bar{u}_1}{m}, \quad \bar{y}' = \frac{\bar{u}_2}{m}, \quad \bar{u}_1 = \cos \theta, \quad \bar{u}_2 = \sin \theta, \quad (5.11)$$

$$\bar{q}'_0 = \frac{1}{2m}(\bar{q}_2 \bar{u}_1 - \bar{q}_1 \bar{u}_2), \quad \bar{q}'_1 = \frac{1}{2m}(\bar{q}_3 \bar{u}_1 + \bar{q}_0 \bar{u}_2), \quad (5.12)$$

$$\bar{q}'_2 = \frac{1}{2m}(-\bar{q}_0 \bar{u}_1 + \bar{q}_3 \bar{u}_2), \quad \bar{q}'_3 = \frac{1}{2m}(-\bar{q}_1 \bar{u}_1 - \bar{q}_2 \bar{u}_2), \quad (5.13)$$

$$(\bar{x}, \bar{y})(0) = (0, 0), \quad (\bar{q}_0, \bar{q}_1, \bar{q}_2, \bar{q}_3)(0) = (1, 0, 0, 0). \quad (5.14)$$

В силу условия (5.9)  $O(\theta_0^2 + c_0^2)$  есть  $O(\theta_0^2 + d_0^2)$ , и обратно. Вычислим асимптотику решений системы (5.10)–(5.14) с начальным условием  $\theta(0) = \theta_0, d(0) = d_0$  при  $\theta_0^2 + d_0^2 \rightarrow 0$  с точностью до  $O(\theta_0^2 + d_0^2)$ . Обозначим  $\rho_0 = \sqrt{\theta_0^2 + d_0^2}$ .

Асимптотика решений уравнения маятника (5.10) хорошо известна – это малые колебания:

$$\theta(s) = \theta_0 \cos s + d_0 \sin s + O(\rho_0^2), \quad d(s) = -\theta_0 \sin s + d_0 \cos s + O(\rho_0^2).$$

Отсюда

$$\bar{u}_1(s) = 1 + O(\rho_0^2), \quad \bar{u}_2(s) = \theta_0 \cos s + d_0 \sin s + O(\rho_0^2). \quad (5.15)$$

Интегрируя обыкновенные дифференциальные уравнения (5.11) с начальными условиями (5.14), получаем

$$\bar{x}(s) = \frac{s}{m} + O(\rho_0^2), \quad (5.16)$$

$$\bar{y}(s) = \frac{1}{m}(\theta_0 \sin s + d_0(1 - \cos s)) + O(\rho_0^2). \quad (5.17)$$

Таким образом, с точностью до  $O(\rho_0^2)$ , кривая  $(\bar{x}, \bar{y})$ , а потому и исходная кривая  $(x, y)$ , есть синусоида малой амплитуды  $\rho_0/m$ .

Теперь вычислим асимптотику для компонент кватерниона  $\bar{q}_0, \bar{q}_1, \bar{q}_2, \bar{q}_3$ . Из уравнений (5.12), (5.13) и разложений (5.15) получаем уравнения

$$\bar{q}'_0(s) = \frac{1}{2m}(\bar{q}_2 - \bar{q}_1(\theta_0 \cos s + d_0 \sin s)) + O(\rho_0^2), \quad (5.18)$$

$$\bar{q}'_1(s) = \frac{1}{2m}(\bar{q}_3 + \bar{q}_0(\theta_0 \cos s + d_0 \sin s)) + O(\rho_0^2), \quad (5.19)$$

$$\bar{q}'_2(s) = \frac{1}{2m}(-\bar{q}_0 + \bar{q}_3(\theta_0 \cos s + d_0 \sin s)) + O(\rho_0^2), \quad (5.20)$$

$$\bar{q}'_3(s) = \frac{1}{2m}(-\bar{q}_1 - \bar{q}_2(\theta_0 \cos s + d_0 \sin s)) + O(\rho_0^2). \quad (5.21)$$

Пусть  $\bar{q}_i(s) = \alpha_{i0}(s) + \alpha_{i1}(s)\theta_0 + \alpha_{i2}(s)d_0 + O(\rho_0^2)$ ,  $i = 0, \dots, 3$ . Тогда из разложений (5.18)–(5.21) получаем

$$\alpha'_{00} = \frac{\alpha_{20}}{2m}, \quad \alpha'_{10} = \frac{\alpha_{30}}{2m}, \quad \alpha'_{20} = -\frac{\alpha_{00}}{2m}, \quad \alpha'_{30} = -\frac{\alpha_{10}}{2m},$$

из начальных условий (5.14) получаем

$$\alpha_{00}(0) = 1, \quad \alpha_{10}(0) = \alpha_{20}(0) = \alpha_{30}(0) = 0.$$

Поэтому

$$\alpha_{00} = \cos \frac{s}{2m}, \quad \alpha_{10} = 0, \quad \alpha_{20} = -\sin \frac{s}{2m}, \quad \alpha_{30} = 0.$$

Для коэффициентов  $\alpha_{i1}$ ,  $\alpha_{i2}$  получаем из (5.18)–(5.21) дифференциальные уравнения

$$\begin{aligned} \alpha'_{01} &= \frac{\alpha_{21}}{2m}, & \alpha'_{02} &= \frac{\alpha_{22}}{2m}, \\ \alpha'_{21} &= -\frac{\alpha_{01}}{2m}, & \alpha'_{22} &= -\frac{\alpha_{02}}{2m}, \\ \alpha'_{11} &= \frac{1}{2m} \left( \alpha_{31} + \cos \frac{s}{2m} \cos s \right), & \alpha'_{12} &= \frac{1}{2m} \left( \alpha_{32} + \cos \frac{s}{2m} \sin s \right), \\ \alpha'_{31} &= \frac{1}{2m} \left( -\alpha_{11} + \sin \frac{s}{2m} \cos s \right), & \alpha'_{32} &= \frac{1}{2m} \left( -\alpha_{12} + \sin \frac{s}{2m} \sin s \right) \end{aligned}$$

с начальными условиями  $\alpha_{ij}(0) = 0$ ,  $i = 0, \dots, 3$ ,  $k = 1, 2$ . Решение этих дифференциальных уравнений имеет вид

$$\begin{aligned} \alpha_{01}(s) &\equiv 0, & \alpha_{02}(s) &\equiv 0, \\ \alpha_{11}(s) &= \frac{1}{2(m^2 - 1)} \left( m \cos \frac{s}{2m} \sin s - (1 + \cos s) \sin \frac{s}{2m} \right), \\ \alpha_{12}(s) &= \frac{1}{2(m^2 - 1)} \left( m(1 - \cos s) \cos \frac{s}{2m} - \sin s \sin \frac{s}{2m} \right), \\ \alpha_{21}(s) &\equiv 0, & \alpha_{22}(s) &\equiv 0, \\ \alpha_{31}(s) &= \frac{1}{2(m^2 - 1)} \left( (-1 + \cos s) \cos \frac{s}{2m} + m \sin s \sin \frac{s}{2m} \right), \\ \alpha_{32}(s) &= \frac{1}{2(m^2 - 1)} \left( \sin s \cos \frac{s}{2m} - m(1 + \cos s) \sin \frac{s}{2m} \right). \end{aligned}$$

Таким образом, получаем следующую асимптотику для компонент кватерниона  $\bar{q}_i$ :

$$\bar{q}_0(s) = \cos \frac{s}{2m} + O(\rho_0^2), \quad (5.22)$$

$$\begin{aligned} \bar{q}_1(s) &= \frac{1}{2(m^2 - 1)} \left( m \cos \frac{s}{2m} \sin s - (1 + \cos s) \sin \frac{s}{2m} \right) \theta_0 \\ &\quad + \frac{1}{2(m^2 - 1)} \left( m(1 - \cos s) \cos \frac{s}{2m} - \sin s \sin \frac{s}{2m} \right) d_0 + O(\rho_0^2), \end{aligned} \quad (5.23)$$

$$\bar{q}_2(s) = -\sin \frac{s}{2m} + O(\rho_0^2), \quad (5.24)$$

$$\begin{aligned} \bar{q}_3(s) &= \frac{1}{2(m^2 - 1)} \left( (-1 + \cos s) \cos \frac{s}{2m} + m \sin s \sin \frac{s}{2m} \right) \theta_0 \\ &\quad + \frac{1}{2(m^2 - 1)} \left( \sin s \cos \frac{s}{2m} - m(1 + \cos s) \sin \frac{s}{2m} \right) d_0 + O(\rho_0^2). \end{aligned} \quad (5.25)$$

Заметим, что эти разложения имеют устранимую особенность при  $m = 1$ , так как числители всех дробей со знаменателем  $m^2 - 1$  обращаются в нуль при  $m = 1$ :

$$\begin{aligned} \alpha_{11}(s) &= \frac{1}{4} \cos \frac{s}{2} (s + \sin s) + O(m - 1), \\ \alpha_{12}(s) &= \frac{1}{4} \sin \frac{s}{2} (s + \sin s) + O(m - 1), \\ \alpha_{31}(s) &= \frac{1}{4} \sin \frac{s}{2} (-s + \sin s) + O(m - 1), \\ \alpha_{32}(s) &= \frac{1}{4} \cos \frac{s}{2} (s - \sin s) + O(m - 1), \\ \bar{q}_1 &= \alpha_{11} \theta_0 + \alpha_{12} d_0 + O(\rho_0^2), & \bar{q}_3 &= \alpha_{31} \theta_0 + \alpha_{32} d_0 + O(\rho_0^2). \end{aligned}$$

Итак, получены асимптотические разложения для переменных  $\bar{x}$  (5.16),  $\bar{y}$  (5.17) и  $\bar{q}_i$  (5.22)–(5.25). Разложения для исходных  $x, y, q_i$  выражаются через найденные разложения с помощью формул (5.10).

В следующем параграфе мы используем полученную асимптотику при исследовании точек Максвелла и времени разреза при  $\rho_0 \rightarrow 0$ .

## § 6. Предельное поведение множества Максвелла и времени разреза

В статье [11] получено уравнение, задающее множество Максвелла  $\text{MAX}^1$  для невырожденных и не центрированных в точке перегиба эластик  $q_3(t) = 0$  (см. теорему 1.1 или [11; теорема 4.11]). В этом параграфе исследуется асимптотика корней этого уравнения при  $\rho_0 \rightarrow 0$ .

Воспользуемся равенством (5.25). Обозначим  $p = s/2$  и вернемся к исходному  $q_3(t) = \bar{q}_3(t)$ ; тогда

$$q_3(p, m, \theta_0, d_0) = \frac{d_0 \cos p - \theta_0 \sin p}{m^2 - 1} \left( \cos \frac{p}{m} \sin p - m \cos p \sin \frac{p}{m} \right) + O(\rho_0^2). \quad (6.1)$$

Корни множителя  $d_0 \cos p - \theta_0 \sin p$  имеют простой геометрический смысл для синусоиды  $(\bar{x}^0(s), \bar{y}^0(s)) = (s/m, (\theta_0 \sin s + d_0(1 - \cos s))/m)$  – главного члена асимптотики элаستيку  $(\bar{x}(s), \bar{y}(s))$ , а потому и для синусоиды  $(x^0(s), y^0(s)) = (\cos \alpha \bar{x}^0(s) + \sin \alpha \bar{y}^0(s), -\sin \alpha \bar{x}^0(s) + \cos \alpha \bar{y}^0(s))$  – главного члена асимптотики элаستيку  $(x(s), y(s))$  при  $\rho_0 \rightarrow 0$ . Легко видеть, что синусоида  $\{(x^0(\sigma), y^0(\sigma)) \mid \sigma \in [0, s]\}$  центрирована в точке перегиба тогда и только тогда, когда  $d_0 \cos p - \theta_0 \sin p = 0$ .

В силу теоремы 1.1 обращение в нуль функции  $q_3$  означает наличие точки Максвелла для эластик, не центрированных в точке перегиба. Поэтому мы исследуем корни множителя  $(\cos \frac{p}{m} \sin p - m \cos p \sin \frac{p}{m}) / (m^2 - 1)$ . При  $m = 0$  этот множитель имеет неустранимую особенность, а при  $m = 1$  он не обращается в нуль для  $p \neq 0$ . Поэтому далее будет рассмотрена функция

$$g_1(p, m) = \cos \frac{p}{m} \sin p - m \cos p \sin \frac{p}{m}, \quad m \in (0, 1) \cup (1, +\infty), \quad p > 0, \quad (6.2)$$

и исследован ее первый положительный корень

$$p_1(m) = \min\{p > 0 \mid g_1(p, m) = 0\}. \quad (6.3)$$

Будет показано, что траектории  $Q_t = \text{Exp}(\lambda, t)$ ,  $\lambda = (\theta_0, d_0, m, \alpha) \in C_1$ , при  $\rho_0 \rightarrow 0$  содержат точку разреза (т.е. не оптимальны) на отрезках  $t \in [0, t_1 + \varepsilon]$ ,  $t_1 = 2p_1(m)/m$ .

**6.1. Исследование функции  $p_1(m)$ .** В теореме 6.1 доказана конечность функции  $p_1(m)$  при  $m > 0$ ,  $m \neq 1$ , приведены ее двусторонние оценки и доказаны свойства монотонности и регулярности.

Определим следующие функции:

$$\tilde{p}(m) = \begin{cases} m\rho & \text{при } m \in \left(0, \frac{1}{2}\right], \\ m\pi \left( \left[ \frac{m}{1-m} \right] + 1 \right) & \text{при } m \in \left(\frac{1}{2}, 1\right), \\ \pi \left( \left[ \frac{1}{m-1} \right] + 1 \right) & \text{при } m \in (1, 2], \\ \rho & \text{при } m > 2, \end{cases} \quad \text{где } \rho = \text{tg } \rho, \quad \rho \in \left(\pi, \frac{3\pi}{2}\right),$$

$$\tilde{p}(m) = \begin{cases} m\pi \left( \left[ \frac{m}{1-m} \right] + 2 \right) & \text{при } m \in (0, 1), \\ \pi \left( \left[ \frac{1}{m-1} \right] + 2 \right) & \text{при } m \in (1, +\infty). \end{cases}$$

**ТЕОРЕМА 6.1.** Пусть  $m \in (0, 1) \cup (1, +\infty)$ . Тогда функция  $g_1(p, m)$  имеет минимальный положительный корень  $p_1(m)$ , удовлетворяющий следующим свойствам:

- a)  $\hat{p}(m) \leq p_1(m) < \tilde{p}(m)$ , поэтому  $\lim_{m \rightarrow 1} p_1(m) = +\infty$ ;
- b)  $p_1(m)$  возрастает при  $m \in (0, 1)$  и убывает при  $m \in (1, +\infty)$ ;
- c) функция  $p_1(m)$  непрерывна при  $m \in (0, 1) \cup (1, +\infty)$ ;
- d) функция  $p_1(m)$  имеет следующие частные значения:
  - если  $m^* = 1 + \frac{1}{n}$ , то  $p_1(m^*) = \pi(n + 1)$ ,
  - если  $m^* = \frac{n}{n+1}$ , то  $p_1(m^*) = \pi n$ ,
  - если  $m^* = 1 + \frac{2}{2n+1}$ , то  $p_1(m^*) = \pi(n + \frac{3}{2})$ ,
  - если  $m^* = \frac{2n+1}{2n+3}$ , то  $p_1(m^*) = \pi(n + \frac{1}{2})$ ;
- e) функция  $p_1(m)$  непрерывно дифференцируема при

$$m \in (0, 1) \cup (1, +\infty) \setminus \left( \left\{ \frac{n}{n+1} \mid n \in \mathbb{N} \right\} \cup \left\{ 1 + \frac{1}{n} \mid n \in \mathbb{N} \right\} \right).$$

Для любого  $n \in \mathbb{N}$   $p_1'(\frac{n}{n+1}) = +\infty$ ,  $p_1'(\frac{n+1}{n}) = -\infty$ ;

- f) в точке  $p = p_1(m)$  функция  $p \mapsto g_1(p, m)$  меняет знак.

Доказательство этой теоремы основывается на леммах 6.1–6.9, приведенных далее. Графики функций  $p_1(m)$  и ее границ  $\hat{p}(m)$ ,  $\tilde{p}(m)$  приведены на рис. 1.

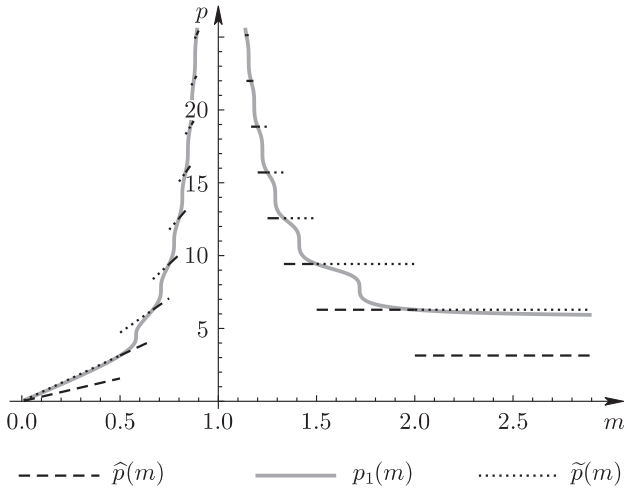


Рис. 1. Графики функций  $\hat{p}(m)$ ,  $p_1(m)$  и  $\tilde{p}(m)$ , где  $\hat{p}(m) \leq p_1(m) < \tilde{p}(m)$

**ЛЕММА 6.1.** Если  $m > 1$  и  $p \in (0, \pi)$ , то  $g_1(p, m) > 0$ , поэтому  $p_1(m) > \pi$ .

**ДОКАЗАТЕЛЬСТВО.** В силу выражения для производной

$$\frac{\partial g_1}{\partial p} = \frac{m^2 - 1}{m} \sin p \sin \frac{p}{m} \tag{6.4}$$

функция  $p \mapsto g_1(p, m)$  возрастает при  $p \in (0, \pi)$ . Так как  $g_1(0, m) = 0$ , то  $g_1(p, m) > 0$  для любого  $p \in (0, \pi)$ .

ЛЕММА 6.2. Если  $m > 1$ , то  $g_1(\tilde{p}(m), m) < 0$ , поэтому  $p_1(m) < \tilde{p}(m)$ .

ДОКАЗАТЕЛЬСТВО. Пусть  $m$  принадлежит промежутку  $(1, 2]$ . Этот промежуток покрывается полуинтервалами  $\tilde{I}(n) = (1 + \frac{1}{n+1}, 1 + \frac{1}{n}]$ , где  $n \in \mathbb{N}$ . Если  $m \in \tilde{I}(n)$ , то  $\tilde{p} = \tilde{p}(m) = \pi(n+2)$  и  $g_1(\tilde{p}, m) = (-1)^{n+1} m \sin(\frac{2+n}{m}\pi)$ . Так как  $n < \frac{2+n}{m} < n+1$ , то:

- если  $n = 2s$ , то  $\sin(\frac{2+n}{m}\pi) > 0$ , поэтому  $g_1(\tilde{p}, m) < 0$ ;
- если  $n = 2s - 1$ , то  $\sin(\frac{2+n}{m}\pi) < 0$ , поэтому  $g_1(\tilde{p}, m) < 0$ .

Для случая  $m > 2$  имеем  $\tilde{p}(m) = 2\pi$ . Непосредственной подстановкой убеждаемся, что  $g_1(2\pi, m) = -m \sin \frac{2\pi}{m} < 0$ .

ЛЕММА 6.3. Если  $m = 1 + \frac{1}{n}$ , где  $n \in \mathbb{N}$ , то  $p_1(m) = \pi(n+1) = \hat{p}(m)$ .

ДОКАЗАТЕЛЬСТВО. Обозначим  $m^* = 1 + \frac{1}{n}$ ,  $p^* = \pi(n+1)$ , где  $n \in \mathbb{N}$ . Очевидно, что  $g_1(p^*, m^*) = 0$ . Докажем, что  $g_1(p, m^*) > 0$  для всех  $p \in (0, p^*)$ . Рассмотрим значения функции  $g_1(p, m^*)$  в критических точках по переменной  $p$ , когда  $\frac{\partial g_1}{\partial p} = 0$ . Функция  $g_1$  имеет две серии таких критических точек:  $p^1(k_1) = \pi k_1$  и  $p^2(k_2) = \pi k_2 m$ , где  $k_1, k_2 \in \mathbb{N}$ . Рассматривая эти критические точки  $p^1(k_1), p^2(k_2) \in (0, p^*)$ , заключаем, что в них  $g_1(p, m^*) > 0$ . Поэтому  $g_1(p, m^*) > 0$  для всех  $p \in (0, p^*)$ . Следовательно,  $p_1(m^*) = p^*$ .

ЛЕММА 6.4. Пусть  $\Omega = (1, +\infty) \setminus \{1 + \frac{1}{n} \mid n \in \mathbb{N}\}$ . Тогда  $p_1 \in C^1(\Omega)$  и  $p'_1(m) < 0$  при  $m \in \Omega$ .

ДОКАЗАТЕЛЬСТВО. Лемма 6.3 дает опорные точки  $m^* = 1 + \frac{1}{n}$ , в которых известно значение функции  $p_1(m^*) = p^* = \pi(n+1)$ . В этих точках  $\frac{\partial g_1}{\partial p} \Big|_{(p^*, m^*)} = 0$  и график функции  $p_1(m)$  имеет вертикальную касательную. В данной лемме утверждается, что функция  $p_1(m)$  гладкая при  $m > 1$ ,  $m \neq m^*$ ; докажем это включение, опираясь на неравенство  $\frac{\partial g_1}{\partial p} \Big|_{p=p_1(m)} \neq 0$  и теорему о неявной функции.

Пусть  $m \in \Omega \cap (1, 2]$ ; тогда  $m \in I(n) = (1 + \frac{1}{n+1}, 1 + \frac{1}{n})$  для некоторого  $n \in \mathbb{N}$ . Рассмотрим значения  $g_1(p^i(k_i), m)$  в критических точках  $p^1(k_1), p^2(k_2)$ , где  $\frac{\partial g_1}{\partial p} = 0$ . Легко проверить, что  $g_1(p^i(k_i), m) \neq 0$ , т.е. при всех  $m \in I(n)$  выполнено  $\frac{\partial g_1}{\partial p} \Big|_{p=p_1(m)} \neq 0$  и по теореме о неявной функции  $p_1(m)$  есть непрерывно дифференцируемая функция на  $I(n)$ , причем

$$p'_1(m) = \frac{-\frac{\partial g_1(p, m)}{\partial m}}{\frac{\partial g_1(p, m)}{\partial p}} \Bigg|_{p=p_1(m)} = -\frac{p + m \operatorname{ctg} p(-m + p \operatorname{ctg} \frac{p}{m})}{m(m^2 - 1)} \Bigg|_{p=p_1(m)}.$$

Из условия  $g_1(p, m) \Big|_{p=p_1(m)} = 0$  получаем, что

$$m \operatorname{ctg} p \Big|_{p=p_1(m)} = \operatorname{ctg} \frac{p}{m} \Big|_{p=p_1(m)}.$$

Тогда  $\operatorname{sign}(p'_1(m)) = -\operatorname{sign}(f(p_1(m), m))$ , где  $f(p, m) = p - m \operatorname{ctg} \frac{p}{m} + p \operatorname{ctg}^2 \frac{p}{m}$ . Рассмотрим функцию  $f$  как полином второй степени относительно  $\operatorname{ctg} \frac{p}{m}$ . Так как  $m \leq 2$  и по лемме 6.1  $p_1(m) > \pi > 1$ , то дискриминант этого полинома  $D(f) = m^2 - 4p^2 < 0$ , поэтому  $f(p_1(m), m) > 0$  и  $p'_1(m) < 0$ .

Пусть  $m > 2$ . Тогда  $\frac{\partial g_1}{\partial p} \Big|_{p=p_1(m)} \neq 0$ . Функция  $f(p, m)$  больше нуля при  $p = p_1(m)$ , так как либо  $D(f) < 0$ , а значит,  $f(p, m) > 0$ , либо  $D(f) \leq 0$ , тогда



$m \geq 2p$ , а  $\operatorname{ctg} \frac{p}{m} > q_2$ , где  $q_2$  – больший из корней функции  $f$  как квадратичного полинома относительно  $\operatorname{ctg} \frac{p}{m}$ . Таким образом,  $f(p_1(m), m) > 0$ , поэтому  $p_1'(m) < 0$ .

ЛЕММА 6.5. *Функция  $p_1(m)$  непрерывна при  $m > 1$ .*

ДОКАЗАТЕЛЬСТВО. С учетом лемм 6.3, 6.4 требуется доказать, что существуют пределы

$$\lim_{m \rightarrow 1+1/n \pm 0} p_1(m) = p_1\left(1 + \frac{1}{n}\right) = \pi(n+1).$$

В силу монотонности и ограниченности  $p_1(m)$  при  $m \neq 1 + \frac{1}{n}$  существуют конечные пределы

$$p_{\pm}(n) = \lim_{m \rightarrow 1+1/n \pm 0} p_1(m).$$

Неравенства  $p_+(n) < \pi(n+1)$ ,  $p_-(n) < \pi(n+1)$  противоречат равенству

$$p_1\left(1 + \frac{1}{n}\right) = \pi(n+1).$$

А неравенства  $p_+(n) > \pi(n+1)$ ,  $p_-(n) > \pi(n+1)$  противоречат непрерывности кривой  $\{(p, m) \mid g_1(p, m) = 0\}$  в окрестности точки  $(\pi(n+1), 1 + \frac{1}{n})$ , следующей по теореме о неявной функции из неравенства

$$\frac{\partial g_1}{\partial m}\left(\pi(n+1), 1 + \frac{1}{n}\right) = -m\left(1 + \frac{1}{n}\right) \neq 0.$$

ЛЕММА 6.6. *Если  $m > 1$ , то  $p_1(m) \geq \widehat{p}(m)$ , поэтому  $\lim_{m \rightarrow 1+0} p_1(m) = +\infty$ .*

ДОКАЗАТЕЛЬСТВО. Из лемм 6.4, 6.5 следует, что функция  $p_1(m)$  монотонно убывает при  $m \in (1, +\infty)$ .

Пусть  $m \in (1, 2] = \bigcup_{n \in \mathbb{N}} \widetilde{I}(n)$ . Если  $m \in \widetilde{I}(n)$ , то  $p_1(m) \geq \pi(n+1) = \pi([\frac{1}{m-1}] + 1) = \widehat{p}(m)$ . Так как  $\lim_{m \rightarrow 1+0} \widehat{p}(m) = +\infty$  и  $p_1(m) \geq \widehat{p}(m)$  для любого  $m \in (1, 2]$ , то  $\lim_{m \rightarrow 1+0} p_1(m) = +\infty$ .

При  $m > 2$  рассмотрим предел  $\lim_{m \rightarrow +\infty} g_1(p, m) = \sin p - p \cos p$ . Так как  $p_1(m)$  убывает, то  $p_1(m) > \rho = \widehat{p}(m)$ , где  $\rho \in (\pi, \frac{3\pi}{2})$  – корень уравнения  $p = \operatorname{tg} p$ , эквивалентного уравнению  $\sin p - p \cos p = 0$ .

ЛЕММА 6.7. *Если  $m = 1 + \frac{2}{2n+1}$ , то  $p_1(m) = \pi(n + \frac{3}{2})$ .*

ДОКАЗАТЕЛЬСТВО. Обозначим  $m_* = 1 + \frac{2}{2n+1}$ ,  $p_* = \pi(n + \frac{3}{2})$ . Очевидно, что  $g_1(p_*, m_*) = 0$ . Далее, проверим, что на отрезке  $p \in [\widehat{p}(m_*), p_*]$ , где  $\widehat{p}(m_*) = \pi(n+1)$ , нет других корней функции  $g_1(p, m_*)$ , кроме  $p_*$ . Это следует из того, что  $g_1(\widehat{p}(m_*), m_*) > 0$  и  $\frac{\partial g_1}{\partial p}(p, m_*) \neq 0$  при  $p \in [\widehat{p}(m_*), p_*)$ .

ЛЕММА 6.8. *Если  $m > 1$ , то функция  $p \mapsto g_1(p, m)$  меняет знак с плюса на минус при переходе через точку  $p = p_1(m)$ .*

ДОКАЗАТЕЛЬСТВО. Из леммы 6.4 следует, что  $\frac{\partial g_1}{\partial p}|_{p=p_1(m)} \neq 0$  при  $m \in \Omega$ , поэтому  $g_1(p, m)$  меняет знак при переходе через точку  $p = p_1(m)$ . Из леммы 6.1 следует, что  $g_1(p, m) > 0$  для всех  $p \in (0, p_1(m))$ . Поэтому при переходе через  $p = p_1(m)$  знак меняется с плюса на минус.

Пусть  $m = m^* = 1 + \frac{1}{n}$ . Из лемм 6.1, 6.3 следует, что  $g_1(p, m^*) > 0$  при  $p \in (0, p_1(m^*))$ . Так как  $g_1(p, m)$  – аналитическая функция, то  $p_1(m^*)$  – изолированный корень функции  $g_1(p, m^*)$ . Из предыдущего абзаца по непрерывности следует, что  $g_1(p, m^*)$  меняет знак с плюса на минус при переходе через точку  $p_1(m^*)$ .

ЛЕММА 6.9. Для любого  $n \in \mathbb{N}$   $p_1'(1 + \frac{1}{n}) = -\infty$ .

ДОКАЗАТЕЛЬСТВО. В силу леммы 6.3 для любого  $m^* = 1 + \frac{1}{n}$  известно явное значение  $p^* = p_1(m^*) = \pi(n + 1)$ . Имеем

$$\frac{\partial g_1(p^*, m^*)}{\partial m} = \pi n, \quad \frac{\partial g_1(p^*, m^*)}{\partial p} = 0,$$

поэтому

$$\lim_{m \rightarrow m^*} p_1'(m) = - \lim_{m \rightarrow m^*} \frac{\frac{\partial g_1}{\partial m}(p, m)}{\frac{\partial g_1}{\partial p}(p, m)} \Bigg|_{p=p_1(m)} = \infty.$$

В силу непрерывности  $p_1(m)$  по теореме Лагранжа о конечных приращениях получаем

$$p_1'(m^*) = \lim_{\Delta m \rightarrow 0} \frac{p_1(m^* + \Delta m) - p_1(m^*)}{\Delta m} = \lim_{\Delta m \rightarrow 0} p_1'(\tilde{m}) = \lim_{m \rightarrow m^*} p_1'(m) = \infty,$$

где  $\tilde{m} \in (m^*, m^* + \Delta m)$ . В силу убывания функции  $p_1(m)$  при  $m > 1$  заключаем что  $p_1'(m^*) = -\infty$ .

ДОКАЗАТЕЛЬСТВО ТЕОРЕМЫ 6.1. В случае  $m > 1$  теорема следует из приведенных выше лемм 6.2–6.9.

В случае  $m \in (0, 1)$  воспользуемся заменой переменных  $\bar{p} = \frac{p}{m}$ ,  $\bar{m} = \frac{1}{m} > 1$ , в которых  $g_1(\bar{p}, \bar{m}) = \frac{1}{m} g_1(p, m)$ . Заключаем, что  $g_1(\bar{p}, \bar{m}) = 0$  тогда и только тогда, когда  $g_1(p, m) = 0$ . Таким образом,  $p_1(m) = m p_1(\frac{1}{m})$  и при  $m \in (0, 1)$  свойства а)–f) функции  $p_1(m)$  вытекают из этих же свойств для  $m > 1$ .

**6.2. Время Максвелла и время разреза при качении сферы по синусоидам малой амплитуды.** Пусть  $\lambda = (\theta, d, m, \alpha) \in C_1$ . В этом пункте исследуется поведение множества Максвелла  $\text{MAX}^1$  и времени разреза

$$t_{\text{cut}}(\lambda) = \sup\{t > 0 \mid Q_s = \text{Exp}(\lambda, s) \text{ оптимальна при } s \in [0, t]\}$$

при  $(\theta, d) \rightarrow (0, 0)$ , т.е. вблизи устойчивого положения равновесия математического маятника (1.9). В этом случае эластики  $(x_t, y_t)$  в главном члене являются синусоидами малой амплитуды  $\frac{p}{m}$ . С учетом леммы 3.1 приведенная в §1 теорема 1.1 утверждает следующее. Если  $t > 0$  таково, что  $q_3(t) = 0$  и  $\text{sn } \tau = \text{sn}(m(\frac{t}{2} + \varphi), k) \neq 0$ , то  $(\lambda, t) \in \text{MAX}^1$  и траектория  $Q_s = \text{Exp}(\lambda, s)$ ,  $s \in [0, t]$ , не оптимальна, поэтому  $t_{\text{cut}}(\lambda) \leq t$ .

Введем полярные координаты  $(\rho, \chi) : d = \rho \cos \chi$ ,  $\theta = \rho \sin \chi$ ; тогда равенство (6.1) переписывается в виде

$$q_3(\rho, \chi, m, t) = \rho \frac{\cos(\chi + \frac{tm}{2})}{m^2 - 1} g_1\left(\frac{tm}{2}, m\right) + \rho^2 h, \quad \text{где } |h| \leq C. \quad (6.5)$$

Зафиксируем  $\bar{\chi} \in S^1$  и  $\bar{m} > 0$ ,  $\bar{m} \neq 1$ . Для исследования поведения времени Максвелла при  $\rho \rightarrow 0$ ,  $\chi \rightarrow \bar{\chi}$ ,  $m \rightarrow \bar{m}$  введем множества

$$D_\delta = \{\lambda = (\rho, \chi, m, \alpha) \in C_1 \mid 0 < \rho < \delta, \quad |\chi - \bar{\chi}| < \delta, \quad |m - \bar{m}| < \delta\}.$$

Обозначим  $t_1 = t_1(\bar{m}) = \frac{2p_1(\bar{m})}{\bar{m}} > 0$ , где  $p_1(m)$  – минимальный положительный корень функции  $g_1(p, m)$  (см. п. 6.1). Обозначим также

$$I_\varepsilon = \{t > 0 \mid t_1 - \varepsilon < t < t_1 + \varepsilon\}, \quad \varepsilon > 0.$$

Следующая теорема описывает поведение множества Максвелла в окрестности устойчивого положения равновесия маятника  $(\theta, d) = (0, 0)$ .

**ТЕОРЕМА 6.2.** Пусть  $\bar{\chi} \in S^1$  и  $\bar{m} > 0$ ,  $\bar{m} \neq 1$ ,  $\cos(\bar{\chi} + t_1\bar{m}/2) \neq 0$ . Тогда

$$\forall \varepsilon > 0 \quad \exists \delta = \delta(\varepsilon) > 0 \quad \forall \lambda \in D_\delta \quad \exists t \in I_\varepsilon: (\lambda, t) \in \text{MAX}^1.$$

При доказательстве этой теоремы мы используем следующую лемму, гарантирующую отсутствие эллипсов, центрированных в точке перегиба, для рассматриваемых значений параметров  $\lambda, t$ .

**ЛЕММА 6.10.** Пусть  $\bar{m}, t_1, \bar{\chi}$  удовлетворяют условиям теоремы 6.2. Тогда существуют такие  $\varepsilon > 0$  и  $\delta > 0$ , что для любых  $\lambda \in D_\delta$  и  $t \in I_\varepsilon$

$$\text{cn}\left(m\left(\frac{t}{2} + \varphi\right), k\right) \neq 0.$$

**ДОКАЗАТЕЛЬСТВО.** Предположим противное. Пусть существуют такие последовательности  $t^n \in \mathbb{R}_+$ ,  $\lambda_n = (\rho_n, \chi_n, m_n, \alpha_n) \in C_1$ , что  $\rho_n \rightarrow 0$ ,  $m_n \rightarrow \bar{m}$ ,  $\chi_n \rightarrow \bar{\chi}$ ,  $t^n \rightarrow t_1$  и  $\text{cn}(m_n(t^n/2 + \varphi_n), k_n) = 0$ . Из определений эллиптических координат  $(\varphi, k)$  (см. § 2) и полярных координат  $(\chi, \rho)$  получаем

$$k^2 = \frac{d^2}{4} + \sin^2 \frac{\theta}{2} = \frac{\rho^2}{4} \left( \cos^2 \chi + \sin^2 \chi \frac{\sin^2 \frac{\theta}{2}}{\left(\frac{\theta}{2}\right)^2} \right),$$

$$\text{cn}(m\varphi, k) = \cos \chi \frac{\rho}{2k}, \quad \text{sn}(m\varphi, k) = \sin \chi \frac{\sin \frac{\theta}{2}}{\frac{\theta}{2}} \frac{\rho}{k}.$$

Следовательно,  $k_n \sim \rho_n/2$  и  $m_n\varphi_n \rightarrow \bar{\chi}$  при  $n \rightarrow \infty$ . Поэтому

$$\text{cn}\left(m_n\left(\frac{t^n}{2} + \varphi_n\right), k_n\right) \rightarrow \cos\left(\bar{\chi} + \frac{t_1\bar{m}}{2}\right) \neq 0,$$

противоречие.

**ДОКАЗАТЕЛЬСТВО ТЕОРЕМЫ 6.2.** Из неравенств  $\cos(\bar{\chi} + t_1\bar{m}/2) \neq 0$ ,  $\bar{m} \neq 1$ , следует, что существует окрестность  $D_{\delta_0} \times I_{\varepsilon_0}$ , в которой  $\cos(\chi + tm/2) \neq 0$  и  $m^2 - 1 \neq 0$ . Учитывая лемму 6.10 и уменьшая при необходимости  $\delta_0$ ,  $\varepsilon_0$ , получаем, что для всех  $(\lambda, t) \in D_{\delta_0} \times I_{\varepsilon_0}$  выполнено неравенство  $\text{sn} \tau = \text{cn}(m(t/2 + \varphi), k) \neq 0$ . Поэтому если для некоторого  $(\lambda, t) \in D_{\delta_0} \times I_{\varepsilon_0}$  выполняется равенство  $q_3(\lambda, t) = q_3(\rho, \chi, m, t) = 0$ , то  $(\lambda, t) \in \text{MAX}^1$  в силу теоремы 1.1 и леммы 3.1.

Для  $\lambda \in D_{\delta_0}$ ,  $t \in I_{\varepsilon_0}$  определим функцию

$$\tilde{q}_3(\lambda, t) = \frac{q_3(\lambda, t)}{\rho \cos(\chi + \frac{tm}{2})} (m^2 - 1),$$

для которой в силу (6.5) имеем разложение

$$\tilde{q}_3(\lambda, t) = g_1\left(\frac{tm}{2}, m\right) + \rho \tilde{h}, \quad \text{где } |\tilde{h}| \leq C.$$

По теореме 6.1 существует такое  $\varepsilon_1 \in (0, \varepsilon_0)$ , что для всех  $\varepsilon \in (0, \varepsilon_1)$  выполнено  $g_1(\bar{m}(t_1 - \varepsilon)/2, \bar{m}) > 0$  и  $g_1(\bar{m}(t_1 + \varepsilon)/2, \bar{m}) < 0$  в случае  $\bar{m} > 1$  (в случае  $\bar{m} \in (0, 1)$  знаки функции  $g_1$  противоположные и рассуждения не меняются). В силу непрерывности функции  $g_1(p, m)$  существуют такие  $\delta_1(\varepsilon) \in (0, \delta_0)$  и  $\gamma > 0$ , что для всех  $m \in (\bar{m} - \delta_1, \bar{m} + \delta_1)$  имеем  $g_1(m(t_1 - \varepsilon)/2, m) > \gamma$  и  $g_1(m(t_1 + \varepsilon)/2, m) < -\gamma$ . Поэтому существует такое  $\delta_2(\varepsilon) \in (0, \delta_1(\varepsilon)]$ , что при  $\lambda \in D_{\delta_2}$  имеем  $\tilde{q}_3(\lambda, t_1 - \varepsilon) > \gamma/2$  и  $\tilde{q}_3(\lambda, t_1 + \varepsilon) < -\gamma/2$ . Следовательно, существует  $t \in I_\varepsilon$ , для которого  $\tilde{q}_3(\lambda, t) = 0$ , поэтому  $q_3(\lambda, t) = 0$ .

Итак, для всех  $\varepsilon \in (0, \varepsilon_1)$  существует такое  $\delta = \delta_2(\varepsilon)$ , что для любого  $\lambda \in D_\delta$  найдется  $t \in I_\varepsilon$ , для которого  $q_3(\lambda, t) = 0$ ,  $\text{сн } \tau \neq 0$ , поэтому  $(\lambda, t) \in \text{MAX}^1$ . Утверждение теоремы доказано для малых  $\varepsilon$ . Увеличивая  $\varepsilon$  и оставляя неизменным  $\delta$ , получаем утверждение теоремы для произвольных  $\varepsilon > 0$ .

**СЛЕДСТВИЕ 6.1.** Пусть последовательность  $\lambda_n = (\rho_n, \chi_n, m_n, \alpha_n) \in C_1$  удовлетворяет условиям

$$\rho_n \rightarrow 0, \quad m_n \rightarrow \bar{m} > 0, \quad \bar{m} \neq 1, \quad \chi_n \rightarrow \bar{\chi}, \quad \cos\left(\frac{\bar{m}t_1}{2} + \bar{\chi}\right) \neq 0.$$

Тогда

$$\lim_{n \rightarrow \infty} \overline{t_{\text{cut}}}(\lambda_n) \leq t_1, \quad t_1 = t_1(\bar{m}). \quad (6.6)$$

**ДОКАЗАТЕЛЬСТВО.** Зафиксируем любое  $\varepsilon > 0$ . Для достаточно больших  $n$  элемент  $\lambda_n$  принадлежит области  $D_\delta$ , указанной в теореме 6.2. Тогда существует  $t^n \in (t_1 - \varepsilon, t_1 + \varepsilon)$ , для которого  $(\lambda_n, t^n) \in \text{MAX}^1$ , поэтому  $t_{\text{cut}}(\lambda_n) \leq t^n < t_1 + \varepsilon$ . В силу произвольности  $\varepsilon$  заключаем, что  $\lim_{n \rightarrow \infty} t_{\text{cut}}(\lambda_n) \leq t_1$ .

Докажем, что в формулировке следствия 6.1 можно избавиться от условий  $\chi_n \rightarrow \bar{\chi}$ ,  $\cos(\bar{m}t_1/2 + \bar{\chi}) \neq 0$ .

**ТЕОРЕМА 6.3.** Пусть последовательность  $\lambda_n = (\rho_n, \chi_n, m_n, \alpha_n) \in C_1$  удовлетворяет условиям  $\rho_n \rightarrow 0$ ,  $m_n \rightarrow \bar{m} > 0$ ,  $\bar{m} \neq 1$ . Тогда выполняется неравенство (6.6).

Иными словами, теорема 6.3 утверждает, что

$$\lim_{\rho \rightarrow 0, m \rightarrow \bar{m}} \overline{t_{\text{cut}}}(\lambda) \leq t_1(\bar{m}) \quad \text{при } \bar{m} > 0, \bar{m} \neq 1.$$

**ДОКАЗАТЕЛЬСТВО ТЕОРЕМЫ 6.3.** Начнем с нескольких замечаний к задаче (1.1), (1.2), (1.3), (1.5) с общими граничными условиями  $Q(0) = Q'_0$ ,  $Q(t_1) = Q'_1 \in \mathbb{R}^2 \times \text{SO}(3)$ . В силу инвариантности этой задачи относительно левых сдвигов на  $\mathbb{R}^2 \times \text{SO}(3)$  любое решение с общим граничным условием получается из некоторого решения с частным граничным условием (1.4) левым сдвигом на элемент  $Q'_0 = (x'_0, y'_0, R'_0)$ , т.е. параллельным переносом на вектор  $(x'_0, y'_0)$  в плоскости  $(x, y)$  и умножением матрицы  $R(t)$  слева на матрицу  $R'_0$ .

Из гамильтоновой системы (1.9)–(1.12) получаем, что эластика  $(x(t), y(t))$  и матрица  $R'_0$  однозначно задают матрицу  $R(t)$ . Будем называть экстремальную кривую  $(x(t), y(t), R(t))$  качением сферы по эластике  $(x(t), y(t))$ . Если качение  $(x(t), y(t), R(t))$ ,  $t \in [0, \hat{t}]$ , оптимально, то в силу инвариантности задачи относительно левых сдвигов на  $\text{SO}(3)$  оптимально и любое другое качение по той же эластике  $(x(t), y(t), \tilde{R}R(t))$ ,  $t \in [0, \hat{t}]$ . В этом случае будем говорить, что эластика  $(x(t), y(t))$ ,  $t \in [0, \hat{t}]$ , оптимальна. В силу инвариантности задачи

относительно сдвигов на  $\mathbb{R}^2$  эластика  $(x(t), y(t))$ ,  $t \in [0, \hat{t}]$ , оптимальна тогда и только тогда, когда оптимален любой ее сдвиг  $(x(t) + \tilde{x}, y(t) + \tilde{y})$ ,  $t \in [0, \hat{t}]$ .

Эллиптическая координата  $\varphi$  (см. § 2) есть время на траекториях маятника. Поэтому если ввести с использованием эллиптических координат ковекторы  $\lambda = (\varphi, k, m, \alpha)$ ,  $\lambda = (\varphi + \sigma, k, m, \alpha) \in C_1$ ,  $\sigma \in \mathbb{R}$ , и обозначить соответствующие им эластики как  $(x(t), y(t))$ ,  $(x'(t), y'(t))$ , получим  $(x(t + \sigma), y(t + \sigma)) = (x'(t), y'(t)) + (x(\sigma), y(\sigma))$ .

Перейдем к доказательству неравенства (6.6). От противного, пусть

$$\exists \varepsilon > 0 \quad \forall N \in \mathbb{N} \quad \exists n > N: Q_n(t) = \text{Exp}(\lambda_n, t), \quad t \in [0, t_1 + \varepsilon], \quad \text{оптимальна.}$$

Возьмем любую подпоследовательность последовательности  $\lambda_n$ , на которой сходится последовательность  $\chi_n \in S^1$ ; обозначим  $\lim_{n \rightarrow \infty} \chi_n = \bar{\chi}$ . Сохраним для этой подпоследовательности обозначение  $\lambda_n$ . Учитывая следствие 6.1, достаточно рассмотреть случай  $\cos(\bar{m}t_1/2 + \bar{\chi}) = 0$ . Представим ковектор  $\lambda_n$  с помощью эллиптических координат:  $\lambda_n = (\varphi_n, k_n, m_n, \alpha_n)$ . Так же, как в лемме 6.10, заключаем, что  $\varphi_n \rightarrow \bar{\varphi} = \bar{\chi}/\bar{m}$ . Для малого  $\sigma > 0$  (которое выберем ниже) определим ковектор  $\lambda'_n = (\varphi_n + \sigma/m_n, k_n, m_n, \alpha_n) \in C_1$  и соответствующую экстремальную траекторию  $Q'_n(t) = \text{Exp}(\lambda'_n, t) = (x'_n(t), y'_n(t), R'_n(t))$ . В силу совпадения параметров  $k$  и  $m$  кривые  $(x_n(t), y_n(t))$  и  $(x'_n(t), y'_n(t))$  принадлежат с точностью до движений плоскости одной бесконечной эластике, но имеют разные начальные фазы  $\varphi_n$  и  $\varphi_n + \sigma/m_n$ . Имеем  $m_n(\varphi_n + \sigma/m_n) \rightarrow \bar{\chi} + \sigma = \bar{\chi}'$ , поэтому  $\cos(\bar{m}t_1/2 + \bar{\chi}') \neq 0$  для достаточно малых  $\sigma$ . В силу следствия 6.1 существует такое  $N_1 \in \mathbb{N}$ , что при  $n > N_1$  траектория  $Q'_n(t)$ ,  $t \in [0, t_1 + \varepsilon/2]$ , не оптимальна, т.е. эластика  $\gamma'_n = \{(x'_n(t), y'_n(t)) \mid t \in [0, t_1 + \varepsilon/2]\}$  не оптимальна. Но дуга  $\gamma'_n$  совпадает с точностью до сдвигов плоскости с дугой  $\gamma_n = \{(x_n(t), y_n(t)) \mid t \in [\sigma/m_n, \sigma/m_n + t_1 + \varepsilon/2]\}$ , поэтому дуга  $\gamma_n$  не оптимальна. Выберем  $\sigma > 0$  настолько малым, что  $[\sigma/m_n, \sigma/m_n + t_1 + \varepsilon/2] \subset [0, t_1]$ . Тогда неоптимальная дуга  $\gamma_n$  содержится в оптимальной дуге  $\{(x_n(t), y_n(t)) \mid t \in [0, t_1 + \varepsilon]\}$ , противоречие.

Зафиксируем любой компакт  $K \subset \{m \in \mathbb{R} \mid m > 0, m \neq 1\}$  и определим подмножество цилиндра  $C$ :

$$\Lambda_\delta = \{\lambda = (\rho, \chi, m, \alpha) \in C_1 \mid 0 < \rho < \delta, m \in K\}.$$

В следующей теореме получена оценка времени разреза  $t_{\text{cut}}(\lambda)$  для ковекторов  $\lambda \in \Lambda_\delta$  при достаточно малых  $\delta$ , т.е. для малых колебаний маятника (1.9).

**ТЕОРЕМА 6.4.** *Для любого  $\varepsilon > 0$  существует такое  $\delta = \delta(\varepsilon) > 0$ , что для всех  $\lambda \in \Lambda_\delta$  выполнено неравенство  $t_{\text{cut}}(\lambda) \leq \max_{m \in K} t_1(m) + \varepsilon$ .*

Иными словами, теорема 6.4 утверждает, что

$$\overline{\lim}_{\rho \rightarrow 0, m \in K} t_{\text{cut}}(\lambda) \leq \max_{m \in K} t_1(m).$$

**ДОКАЗАТЕЛЬСТВО ТЕОРЕМЫ 6.4.** Предположим противное. Пусть существует такое  $\varepsilon > 0$ , что для всех  $\delta_n = 1/n$ ,  $n \in \mathbb{N}$ , существует  $\lambda_n \in \Lambda_{1/n}$ , для которого  $t_{\text{cut}}(\lambda_n) > \max_{m \in K} t_1(m) + \varepsilon$ . Тогда для последовательности  $\lambda_n = (\rho_n, \chi_n, m_n, \alpha_n)$  имеем  $\rho_n \rightarrow 0$ . В силу того, что  $(\chi_n, m_n) \in S^1 \times K$  – компакт, существует сходящаяся подпоследовательность  $(\chi_{n_k}, m_{n_k}) \rightarrow (\bar{\chi}, \bar{m})$ ,  $\bar{\chi} \in S^1$ ,  $\bar{m} \in K$ . Из теоремы 6.3 заключаем, что  $t_{\text{cut}}(\lambda_{n_k}) \leq t_1(\bar{m}) + \varepsilon$  для достаточно больших  $k$ , поэтому  $t_{\text{cut}}(\lambda_{n_k}) \leq \max_{m \in K} t_1(m) + \varepsilon$ . Это противоречит неравенству  $t_{\text{cut}}(\lambda_n) > \max_{m \in K} t_1(m) + \varepsilon$ .

В §§ 5, 6 исследованы свойства оптимальности экстремальных траекторий  $Q_t = \text{Exp}(\lambda, t)$ ,  $\lambda = (\theta, d, m, \alpha)$ , в окрестности устойчивого положения равновесия  $(\theta, d) = (0, 0)$  уравнения маятника (5.10). В § 5 вычислены главные члены асимптотики экстремальных траекторий при  $\rho = \sqrt{\theta^2 + d^2} \rightarrow 0$ . В § 6 исследовано поведение при  $\rho \rightarrow 0$  множества Максвелла  $\text{MAX}^1$ . На основе этого при  $\rho \rightarrow 0$ ,  $m \rightarrow \bar{m}$  для экстремальных траекторий  $Q_t = \text{Exp}(\lambda, t)$  получена верхняя оценка времени разреза вида  $t_{\text{cut}}(\lambda) < t_1(\bar{m}) + \varepsilon$ , где  $\varepsilon > 0$  сколь угодно мал. Задающая эту оценку функция  $t_1(m) = 2p_1(m)/m$  характеризуется весьма сложным поведением: ее график имеет вертикальные касательные при  $m = (n+1)/n$  и  $m = n/(n+1)$ ,  $n \in \mathbb{N}$ ; помимо этого  $\lim_{m \rightarrow 1} t_1(m) = +\infty$ .

Момент времени  $t = t_1(\bar{m})$  определяет для траекторий  $Q_t$  при  $\rho \rightarrow 0$ ,  $m \rightarrow \bar{m}$  асимптотику времени Максвелла, соответствующего отражению  $\varepsilon^1$  фазового портрета маятника (1.9) в оси координат  $\theta$ . Аналогичный момент времени  $t = t_2(\bar{m})$  можно определить для отражения  $\varepsilon^2$  фазового портрета маятника (1.9) в оси координат  $s$  (т.е. для страта Максвелла  $\text{MAX}^2$ ). Поведение функции  $t_2(m)$  аналогично поведению функции  $t_1(m)$ ; можно показать, что графики этих функций имеют бесконечное число точек пересечения. Приближенные вычисления показывают также, что функции  $t_1(m)$  и  $t_2(m)$  являются границами первого сопряженного времени  $t_{\text{conj}}(m)$  вдоль экстремальных траекторий (рис. 2).

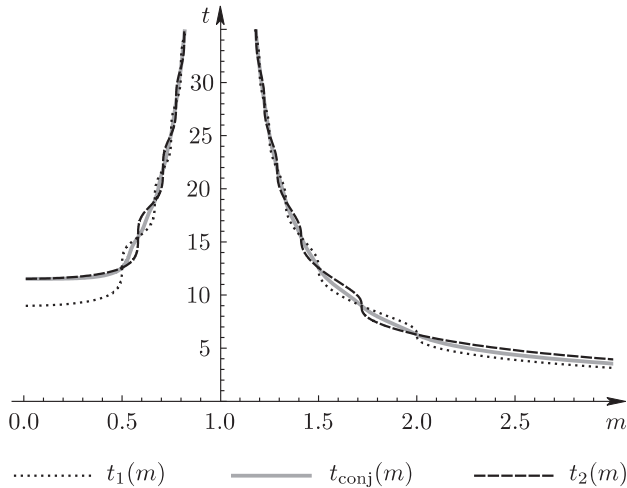


Рис. 2. Графики функций  $t_1(m)$ ,  $t_{\text{conj}}(m)$ ,  $t_2(m)$

Отметим, что в родственных задачах оптимального управления: субриманова задача в случае Маргине (см. [18]), нильпотентная субриманова задача с вектором роста  $(2, 3, 5)$  (см. [17]), задача Эйлера об эластичах (см. [14]), субриманова задача на группе движений плоскости (см. [15]), глобальное поведение аналогичных времен Максвелла  $t_1(\lambda)$ ,  $t_2(\lambda)$ ,  $\lambda \in C$ , гораздо проще, чем асимптотика  $t_1(\bar{m})$ ,  $t_2(\bar{m})$  в задаче о качении сферы по плоскости. Это отражает более сложный характер данной задачи по сравнению с указанными

родственными задачами. А с учетом сложности параметризации экстремальных траекторий в данной задаче представляется затруднительным получить ее точное решение. Однако на основе полученных результатов возможна разработка алгоритма и программы приближенного решения задачи о качении сферы по плоскости, что составит предмет будущей работы.

### Список литературы

- [1] Z. Li, J. Canny, “Motion of two rigid bodies with rolling constraint”, *IEEE Trans. on Robotics and Automation*, **6**:1 (1990), 62–72.
- [2] A. Bicchi, D. Prattichizzo, S. S. Sastry, “Planning motions of rolling surfaces”, *Proceedings of the 34th IEEE Conference on Decision and Control* (New Orleans, LA, USA, 1995), 2812–2817.
- [3] A. Marigo, A. Bicchi, “Rolling bodies with regular surface: the holonomic case”, *Differential geometry and control* (Boulder, CO, 1997), Proc. Sympos. Pure Math., **64**, Amer. Math. Soc., Providence, RI, 1999, 241–256.
- [4] А. А. Аграчев, Ю. Л. Сачков, *Геометрическая теория управления*, Физматлит, М., 2004.
- [5] J. M. Hammersley, “Oxford commemoration ball”, *Probability, statistics and analysis*, London Math. Soc. Lecture Note Ser., **79**, Cambridge Univ. Press, Cambridge–New York, 1983, 112–142.
- [6] A. M. Arthurs, G. R. Walsh, “On Hammersley’s minimum problem for a rolling sphere”, *Math. Proc. Cambridge Philos. Soc.*, **99**:3 (1986), 529–534.
- [7] V. Jurdjevic, “The geometry of the plate-ball problem”, *Arch. Rational Mech. Anal.*, **124**:4 (1993), 305–328.
- [8] V. Jurdjevic, *Geometric control theory*, Cambridge Stud. Adv. Math., **52**, Cambridge Univ. Press, Cambridge, 1997.
- [9] Л. Эйлер, “Приложение I, “Об упругих кривых””, *Метод нахождения кривых линий, обладающих свойствами максимума или минимума, или решение изопериметрической задачи, взятой в самом широком смысле*, ГТТИ, М.–Л., 1934, 447–572.
- [10] А. Ляв, *Математическая теория упругости*, ОНТИ, М.–Л., 1935; пер. с англ.: A. E. H. Love, *A treatise on the mathematical theory of elasticity*, Cambridge Univ. Press, Cambridge, 1927.
- [11] Ю. Л. Сачков, “Симметрии и страты Максвелла в задаче об оптимальном качении сферы по плоскости”, *Матем. сб.*, **201**:7 (2010), 99–120; англ. пер.: Yu. L. Sachkov, “Maxwell strata and symmetries in the problem of optimal rolling of a sphere over a plane”, *Sb. Math.*, **201**:7 (2010), 1029–1051.
- [12] Ю. Л. Сачков, “Полное описание стратов Максвелла в обобщенной задаче Дидоны”, *Матем. сб.*, **197**:6 (2006), 111–160; англ. пер.: Yu. L. Sachkov, “Complete description of the Maxwell strata in the generalized Dido problem”, *Sb. Math.*, **197**:6 (2006), 901–950.
- [13] Л. С. Понтрягин, В. Г. Болтянский, Р. В. Гамкредидзе, Е. Ф. Мищенко, *Математическая теория оптимальных процессов*, Наука, М., 1976; англ. пер.: L. S. Pontryagin, V. G. Boltyanskii, R. V. Gamkrelidze, E. F. Mishchenko, *Selected works. Vol. 4. The mathematical theory of optimal processes*, Classics Soviet Math., Gordon & Breach, New York, 1986.
- [14] Yu. L. Sachkov, “Maxwell strata in the Euler elastic problem”, *J. Dyn. Control Syst.*, **14**:2 (2008), 169–234.
- [15] I. Moiseev, Yu. L. Sachkov, “Maxwell strata in sub-Riemannian problem on the group of motions of a plane”, *ESAIM Control Optim. Calc. Var.*, **16**:2 (2010), 380–399.

- [16] Ю. Т. Уиттекер, Дж. Н. Ватсон, *Курс современного анализа*, УРСС, М., 2002; пер. с англ.: E. T. Whittaker, G. N. Watson, *A course of modern analysis*, Cambridge Univ. Press, New York, 1962.
- [17] Ю. Л. Сачков, “Экспоненциальное отображение в обобщенной задаче Дидоны”, *Матем. сб.*, **194**:9 (2003), 63–90; англ. пер.: Yu. L. Sachkov, “Exponential map in the generalized Dido problem”, *Sb. Math.*, **194**:9 (2003), 1331–1359.
- [18] A. Agrachev, B. Bonnard, M. Chyba, I. Kupka, “Sub-Riemannian sphere in Martinet flat case”, *ESAIM Control Optim. Calc. Var.*, **2** (1997), 377–448.
- [19] В. И. Арнольд, *Геометрия комплексных чисел, кватернионов и спинов*, МЦНМО, М., 2002.
- [20] Л. С. Понтрягин, *Обобщения чисел*, Библиотека “Квант”, **54**, Наука, М., 1986; нем. пер.: L. S. Pontrjagin, *Verallgemeinerungen der Zahlen*, Akademie-Verlag, Berlin, 1991.
- [21] Э. Т. Уиттекер, *Аналитическая динамика*, УРСС, М., 2004; пер. с англ.: E. T. Whittaker, *A treatise on the analytical dynamics of particles and rigid bodies*, Cambridge Math. Lib., Cambridge Univ. Press, Cambridge, 1988.

**А. П. Маштаков (A. P. Mashtakov)**

Институт программных систем им. А. К. Айламазяна РАН,

г. Переславль-Залесский

*E-mail*: [alexey.mashtakov@gmail.com](mailto:alexey.mashtakov@gmail.com)

Поступила в редакцию

24.06.2010

**Ю. Л. Сачков (Yu. L. Sachkov)**

Институт программных систем им. А. К. Айламазяна РАН,

г. Переславль-Залесский

*E-mail*: [sachkov@sys.botik.ru](mailto:sachkov@sys.botik.ru)